

# Übersicht

## 6. Quantendrähte

### 6.1 Nachweis des 1D-Charakters

### 6.2 Subbandstruktur

### 6.3 Magnetotransport

### 6.4 Quantentransport

### 6.5 Ballistischer Transport heißer Elektronen

### 6.6 Thermospannung

### 6.7 Quanteninterferenz

# 6. Quantendrähte

## 6.1 Nachweis des 1D-Charakters

### Elektrischer Transport ohne Stöße (Ballistik)

3D

$$J = -e \cdot n \cdot v$$

$$E = \hbar\omega \quad v = \partial\omega/\partial k$$

$$n = 2 \int_{\text{bes.Zustände}} \frac{dk}{(2\pi)^3}$$

$$v = \frac{1}{\hbar} \text{grad}_k E(k)$$

$$J = -2e \int_{\text{bes.Zustände}} \frac{dk}{(2\pi)^3} \cdot \frac{1}{\hbar} \text{grad}_k E(k)$$

1D

$$J = -2e \int_{\text{bes.Zustände}} \frac{dk}{2\pi} \cdot \frac{1}{\hbar} \frac{\partial E(k)}{\partial k}$$

# 6. Quantendrähte

## 6.1 Nachweis des 1D-Charakters

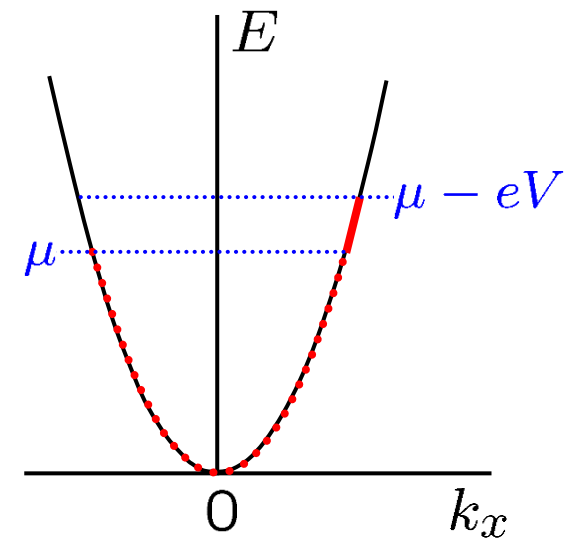
### Elektrischer Transport ohne Stöße (Ballistik)

In hochbeweglichen Quantendrähten mit glatten Wänden und einer Länge kleiner als die elastische freie Weglänge findet elektronische Wellenleitung statt: Der Impuls in x-Bewegungsrichtung bleibt erhalten und die Bewegung quer zum Draht ist quantisiert. Bei  $T = 0$  ist der Beitrag der Mode  $l$  zum Transport:

$$J_D = -en_l v = -e \int_{(k)} 2 \cdot \frac{dk}{2\pi} \cdot \frac{1}{\hbar} \frac{dE}{dk}$$

Spin

$$= -\frac{2e}{h} \int_{\mu}^{\mu - eV_D} dE = \frac{2e}{h} \cdot eV_D \quad g_D = \frac{2e^2}{h}$$



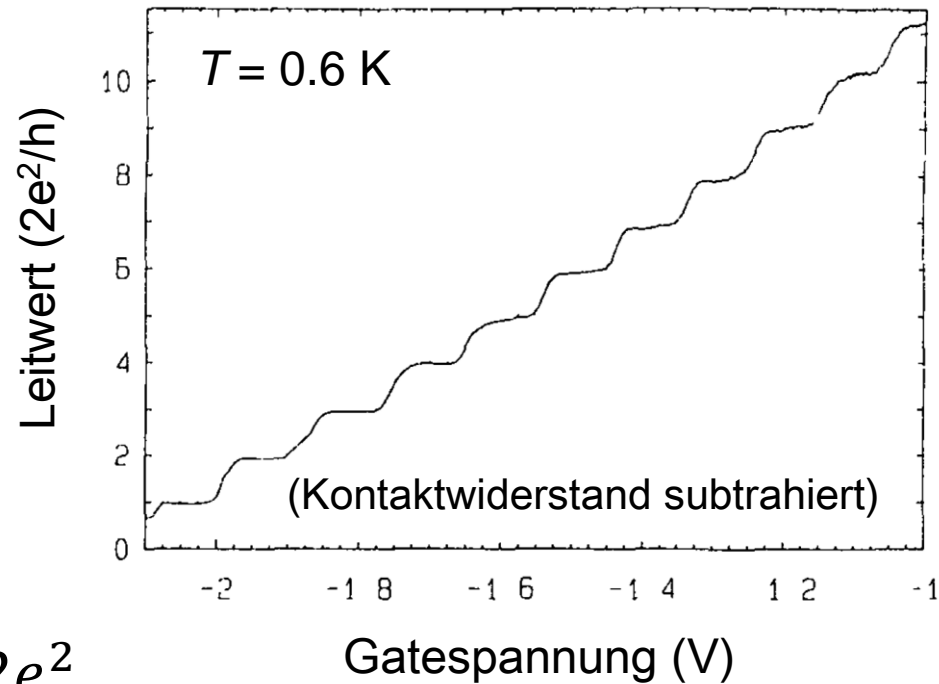
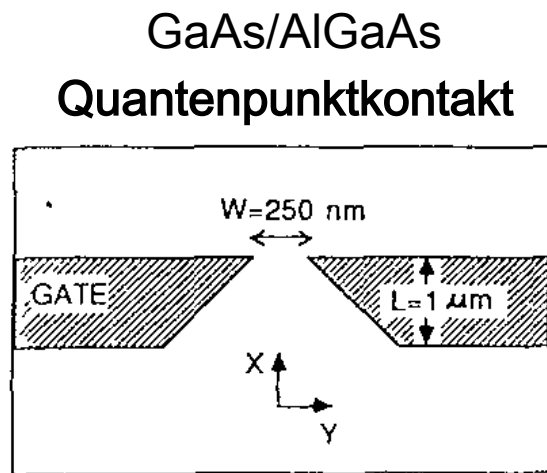
T. Heinzel: Mesoscopic electronics in solid state nanostructures. Wiley-VCH, Weinheim 2003

# 6. Quantendrähte

## 6.1 Nachweis des 1D-Charakters

### Elektrischer Transport ohne Stöße (Ballistik)

Ballistischer Transport im Quantendraht ist realisierbar durch extrem kurzen 1D-Leiter:



Quantisierter Leitwert: Stufen  $\frac{2e^2}{h}$

B. J. Van Wees *et al.*, Phys. Rev. Lett. **60**, 848 (1988)

# 6. Quantendrähte

## 6.2 Subbandstruktur

### Einschränkungspotential

Im 1D-Elektronensystem gibt es nur einen Freiheitsgrad der Bewegung:

$$\psi_k(x, y, z) = \frac{1}{\sqrt{L_x}} \exp^{jkx} \cdot \phi_\alpha(y, z)$$

wobei  $\phi_\alpha(y, z)$  eine Lösung der 2D-Schrödinger-Gleichung ist:

$$\left[ -\frac{\hbar^2}{2m_y} \frac{d^2}{dy^2} - \frac{\hbar^2}{2m_z} \frac{d^2}{dz^2} + U(y) + V(z) \right] \phi_\alpha = E_\alpha \phi_\alpha$$

Nur in Spezialfällen gelingt die Separation der Einschränkungspotentiale und Eigenfunktionen. Dann sind die Eigenwerte durch zwei Quantenzahlen ( $m, n$ ) darstellbar.

T. Heinzel: Mesoscopic electronics in solid state nanostructures. Wiley-VCH, Weinheim 2003

# 6. Quantendrähte

## 6.2 Subbandstruktur

### Einschränkungspotential

In lateral strukturierten Quantenfilmen ist die Separation eine gute Näherung, weil meistens gilt:

**Strukturbreite  $\gg$  Quantenfilmdicke**

Näherung der Einschränkung durch harmonisches Potential:

$$V(y) = \frac{m_y \omega_0^2}{2} y^2$$

$$E = E_n + \hbar \omega_0 \left( l + \frac{1}{2} \right) + \frac{\hbar^2 k_x^2}{2m_x} \quad l = 0, 1, 2, \dots$$

$z$ -Quantisierung 

T. Heinzel: Mesoscopic electronics in solid state nanostructures. Wiley-VCH, Weinheim 2003

# 6. Quantendrähte

## 6.2 Subbandstruktur

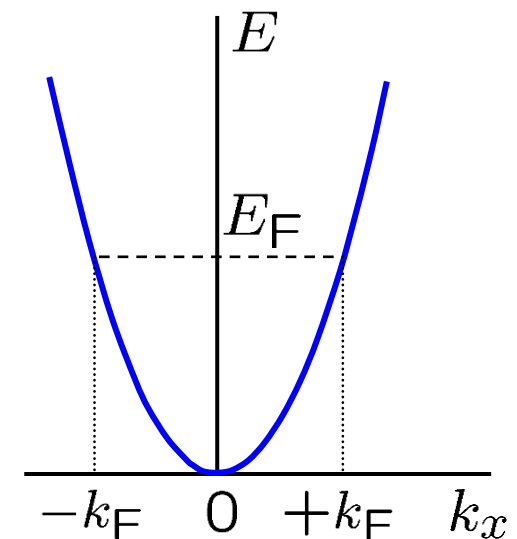
### Einschränkungspotential

Der  $k$ -Raum schrumpft auf Zustände längs der  $k_x$ -Linie:

Dichte der verfügbaren Zustände im  $l$ -ten Subband,  $|k| \leq k_F$

$$dN_n = 2 \frac{dk_x}{2\pi}$$

$$N_n = \frac{1}{\pi} \int_{-k_F}^{+k_F} dk = \frac{2}{\pi \hbar} \sqrt{2m_x} \sqrt{E_F - E_n}$$



T. Heinzel: Mesoscopic electronics in solid state nanostructures. Wiley-VCH, Weinheim 2003

# 6. Quantendrähte

## 6.2 Subbandstruktur

### Einschränkungspotential

Zustandsdichte in jedem Subband: 
$$D_n = \frac{dN}{dE} = \frac{\sqrt{2m_x}}{\pi \hbar} \frac{1}{\sqrt{E_F - E_n}}$$

Die Singularität an der Unterkante ist real stoßverbreitert,  $\Delta E \approx \frac{\hbar}{\tau}$   
die Fläche bleibt erhalten.

Allgemeine Darstellung von Zustandsdichte und Elektronendichte mit der Heavyside-Funktion  $\Theta(E)$ :

$$D_{1D} = \frac{\sqrt{2m_x}}{\pi \hbar} \sum_{\alpha} (E - E_{\alpha})^{-1/2} \cdot \Theta(E - E_{\alpha})$$

$$N_{1D} = 2 \frac{\sqrt{2m_x}}{\pi \hbar} \sum_{\alpha} (E - E_{\alpha})^{1/2} \cdot \Theta(E - E_{\alpha})$$

T. Heinzel: Mesoscopic electronics in solid state nanostructures. Wiley-VCH, Weinheim 2003



# 6. Quantendrähte

## 6.2 Subbandstruktur

### Einschränkungspotential

$$\mathbf{B} = (0, 0, B)$$

Überlagerung des lateralen Einschlusspotentials mit dem magnetischen Vektorpotential führt auf ein **hybrides magneto-elektrisches Einschränkungspotential**:

$$E = E_n + \hbar\Omega \left( l + \frac{1}{2} \right) + \frac{\hbar^2 k_x^2}{2m_x(B)}$$

mit:  $\Omega^2 = \omega_0^2 + \omega_c^2$

$$m_x(B) = m_x(0) \frac{\Omega^2}{\omega_0^2} = m_x(0) \left( 1 + \frac{\omega_c^2}{\omega_0^2} \right)$$

$$\frac{\hbar^2 k_x^2}{2m_x(B)} = \frac{\hbar^2 k_x^2}{2m_x(0)} \cdot \frac{\omega_0^2}{\omega_c^2 + \omega_0^2}$$

für  $\omega_c \gg \omega_0$ : 2D-Fall

$$\longrightarrow E_n + \hbar\omega_c \left( l + \frac{1}{2} \right)$$

$$\longrightarrow \omega_c^2$$

$$\longrightarrow \infty$$

$$\longrightarrow 0$$

T. Heinzel: Mesoscopic electronics in solid state nanostructures. Wiley-VCH, Weinheim 2003

# 6. Quantendrähte

## 6.2 Subbandstruktur

### Einschränkungspotential

Das Magnetfeld erzeugt einen Übergang 1D→0D bei  $\omega_c \approx \omega_0$

Landau-Kreisbahn passt in das Einschränkungspotential:

$$\text{magnetisch: } d_l = 2r_l = \left( \frac{4\hbar}{eB} (2l + 1) \right)^{1/2} = \left( \frac{4\hbar}{m^*\omega_c} (2l + 1) \right)^{1/2}$$

$$\text{elektrisch: } V(y) = \frac{m^*\omega_0^2}{2} y^2, \quad E_F = \frac{m^*\omega_0^2}{2} w_F^2 = \hbar\omega_0 \left( l + \frac{1}{2} \right)$$

$$2w_F = w_l = \left( \frac{4\hbar}{m^*\omega_0} (2l + 1) \right)^{1/2} = d_l \quad \text{für} \quad \omega_c = \omega_0$$

$w_l$  ist der Abstand zwischen den klassischen Umkehrpunkten für ein Elektron im Quantenzustand  $l$  (bei  $E_F$ ) für die transversale Mode.

T. Heinzel: Mesoscopic electronics in solid state nanostructures. Wiley-VCH, Weinheim 2003

# 6. Quantendrähte

## 6.2 Subbandstruktur

### Zustandsdichte

$$D(E) = \frac{\sqrt{2m^*(B)}}{\pi\hbar} \sum_l (E - E_l)^{-1/2} \quad \frac{\Omega}{\omega_0} = \sqrt{1 + \frac{\omega_c^2}{\omega_0^2}}$$

$$= \frac{\sqrt{2m^*}}{\pi\hbar} \cdot \frac{\Omega}{\omega_0} \sum_l (E - E_l)^{-1/2} \propto \frac{\omega_c}{\omega_0} \propto B \quad (\omega_c \gg \omega_0)$$

Der Beitrag des  $(l - 1)$ -ten Subbands steigt bei  $E_l$  schwächer an, weil  $\hbar\Omega$  mit  $B$  steigt und

$$D \propto 1/\sqrt{E} \quad (\omega_c \gg \omega_0)$$

$$D_{l-1}(E_l) = \frac{\sqrt{2m^*}}{\pi\hbar} \frac{\Omega}{\omega_0} \frac{1}{\sqrt{E_l - E_{l-1}}} = \frac{\sqrt{2m^*}}{\pi\hbar} \frac{\Omega}{\omega_0} \frac{1}{\sqrt{\hbar\Omega}} \propto \sqrt{\Omega} \propto \sqrt{B}$$

Nähert sich einer Serie von  $\delta$ -Funktionen an, vgl. 2D im Hochmagnetfeld.

T. Heinzel: Mesoscopic electronics in solid state nanostructures. Wiley-VCH, Weinheim 2003

# 6. Quantendrähte

## 6.3 Magnetotransport

### Diffuser Transport $\omega_c T \approx 1$

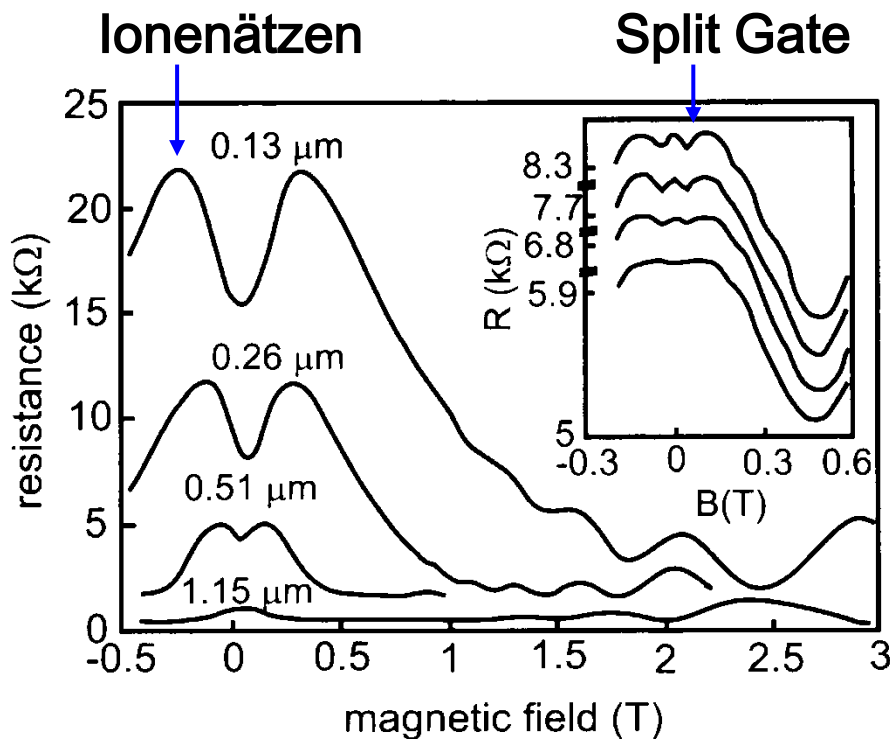
In hochbeweglichen langen 1D-Systemen mit rauen Rändern werden die Elektronen bei tiefen Temperaturen nur am Rand diffus gestreut. Mit steigendem Magnetfeld

wechselwirken die Trajektorien zunehmend mit dem Rand und der Widerstand steigt. Ein Maximum wird erreicht für:

$$w_{\text{eff}} \frac{eB_{\text{max}}}{h} \left( \frac{2\pi}{N_{2D}} \right)^{1/2} \approx 0.55$$

Daraus ergibt sich die effektive Breite

$$w_{\text{eff}}$$



T. J. Thornton *et al.*, Phys. Rev.Lett. **63**, 2128 (1989)

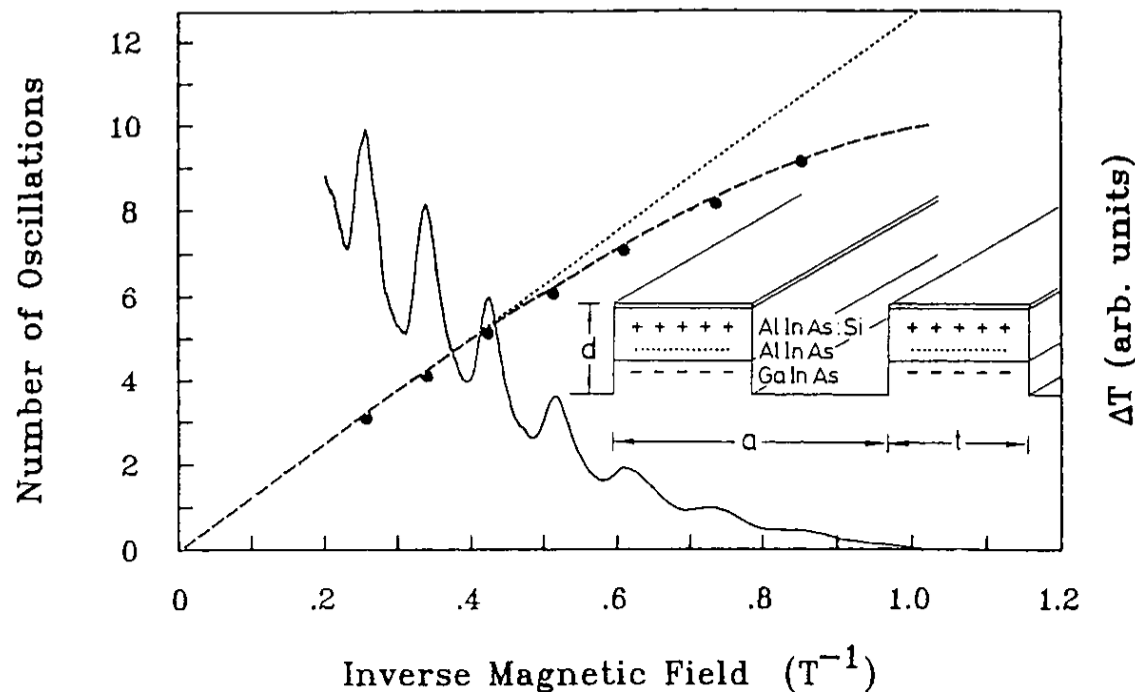
T. Heinzel: Mesoscopic electronics in solid state nanostructures. Wiley-VCH, Weinheim 2003

# 6. Quantendrähte

## 6.3 Magnetotransport

### Diffuser Transport $\omega_c \tau \approx 1$

Durch das laterale Einschlusspotential wird der **Schubnikov-de Haas-Effekt** modifiziert: Die 1D-Niveaus werden durch das steigende Magnetfeld entleert. Auftragung wie bei SdH als Quantenzahl  $n$  über  $1/B$ :



$$\hbar\omega_0 = 2.5 \text{ meV}$$

$$w_{\text{eff}} = 300 \text{ nm}$$

$$N_{1D} = 1.4 \cdot 10^9 \text{ m}^{-1}$$

T. K. Kern *et al.*, Surf. Sci. **224**, 356 (1990)

T. Heinzel: Mesoscopic electronics in solid state nanostructures. Wiley-VCH, Weinheim 2003

# 6. Quantendrähte

## 6.3 Magnetotransport

### Diffuser Transport $\omega_c \tau \approx 1$

Die Analyse der SdH-Oszillationen startet mit der 1D-Dichte für ein System, in dem alle 1D-Subbänder von  $l = 0$  bis  $l = n$  besetzt sind:

$$N_{1D} = 2 \frac{\sqrt{2m_x(B)}}{\pi \hbar} \sum_{l=0}^n (E_F - E_l)^{1/2}$$

$$\begin{aligned} E_F - E_l &= \\ (n - l) \cdot \hbar \Omega &= \\ &= \nu \cdot \hbar \Omega \end{aligned}$$

Im  $n$ -ten Minimum von  $\rho_{xx}$  ist das  $n$ -te Subband gerade entleert:  $E_F = E_n$

Einsetzen von  $m_x(B)$  und  $E_F - E_l$  liefert: 
$$N_{1D} = \frac{2 \sqrt{2m^*} \Omega^{3/2}}{\pi \hbar \omega_0} \sum_{\nu=1}^n \nu^{1/2}$$

Anpassungsrechnung zu  $n(B)$  liefert  $\hbar \omega_0$  und  $N_{1D}$  bzw.  $w_{\text{eff}} = N_{1D}/N_{2D}$

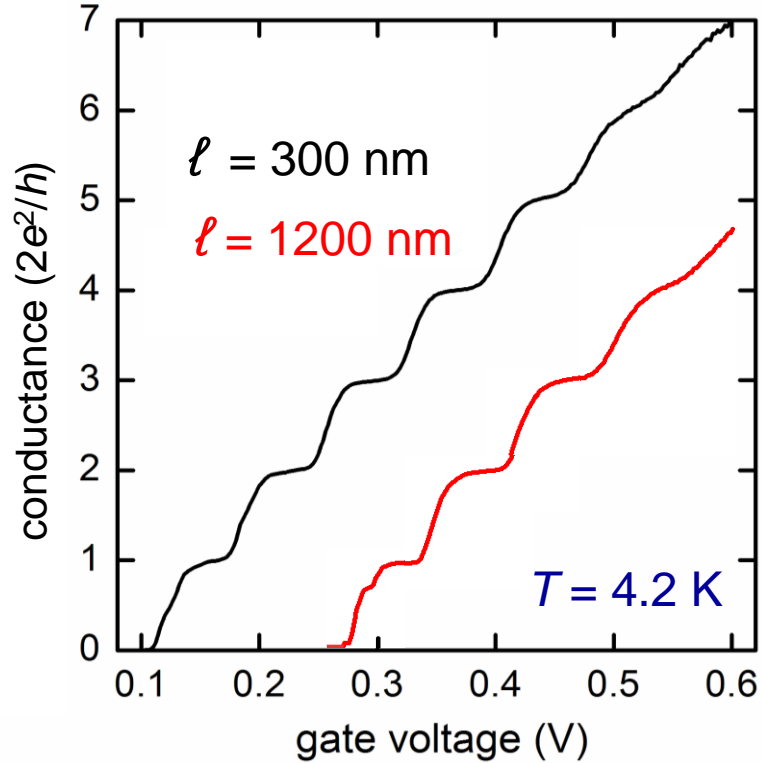
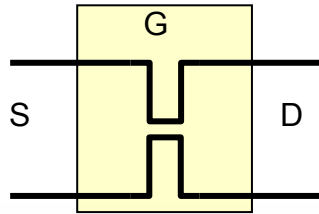
K.-F. Berggren *et al.* Phys. Rev. B **37**, 10118 (1988)

T. Heinzel: Mesoscopic electronics in solid state nanostructures. Wiley-VCH, Weinheim 2003

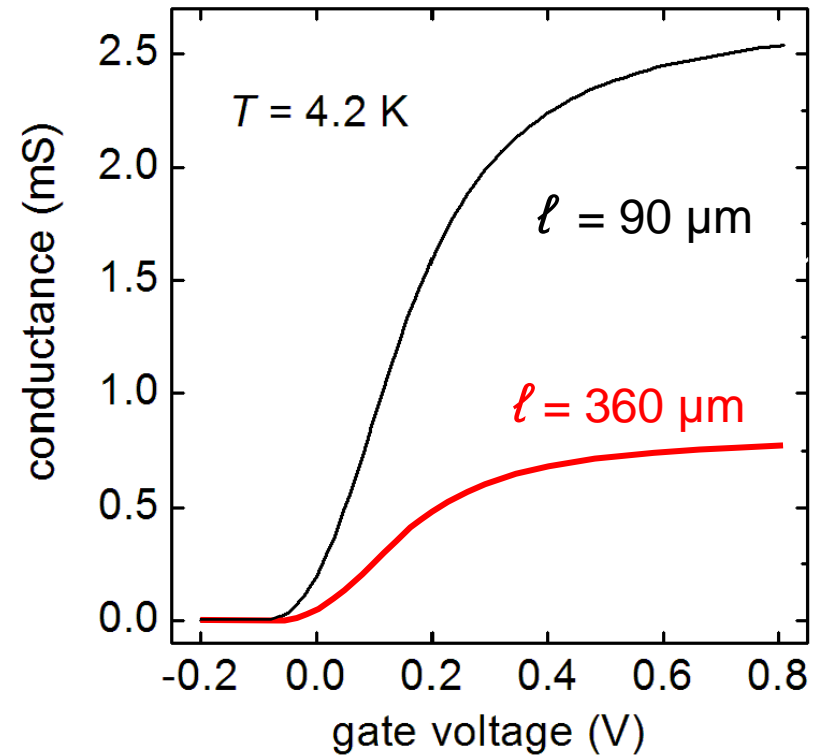
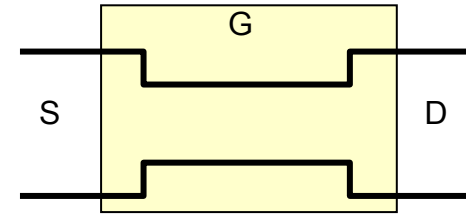
# 6. Quantendrähte

## 6.4 Quantenleitwert

Quantendraht:  $w = 150 \text{ nm}$



Vgl. MODFET,  $w = 15 \mu\text{m}$

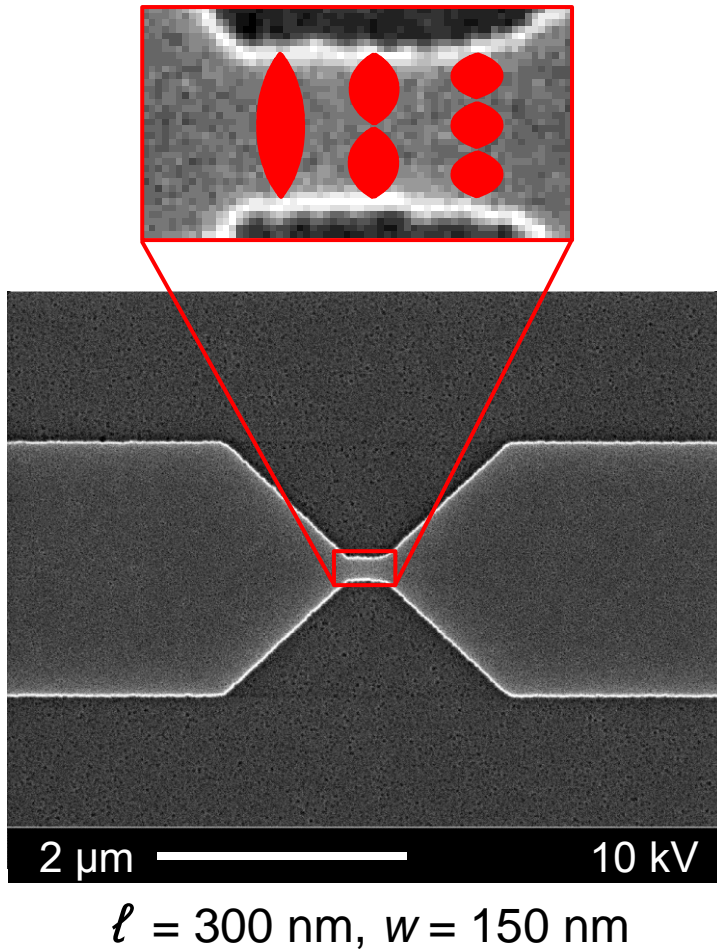


M. Knop *et al.* *Semicond. Sci. Technol.* **20**, 814 (2005)

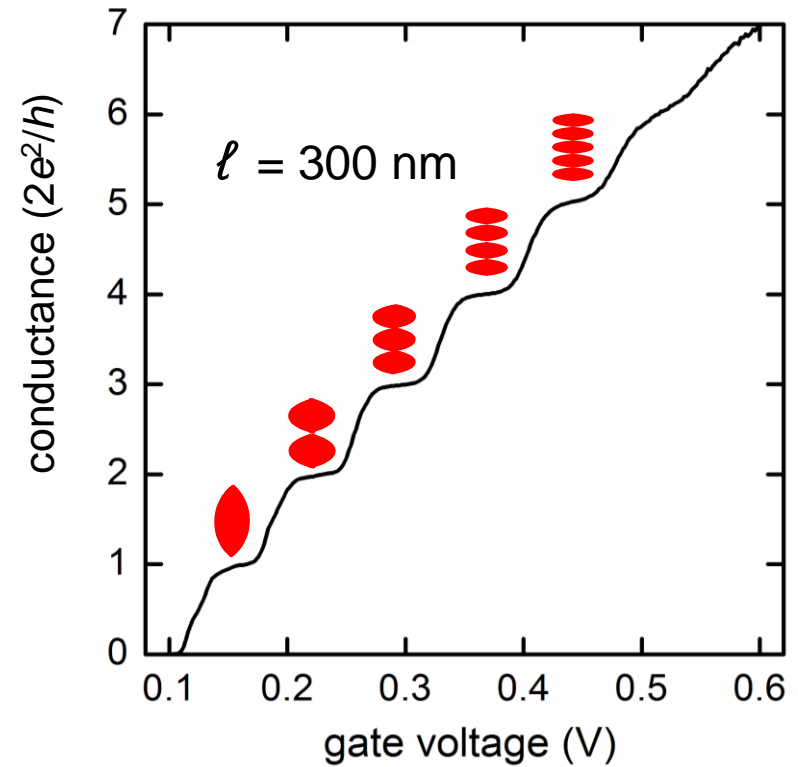
# 6. Quantendrähte

## 6.4 Quantenleitwert

... ist beobachtbar, wenn  $w \approx \lambda_e$



**Quantisierter Leitwert ( $n \cdot 2e^2/h$ )**  
durch einzelne Transportmoden



M. Knop *et al.* Semicond. Sci. Technol. **20**, 814 (2005)

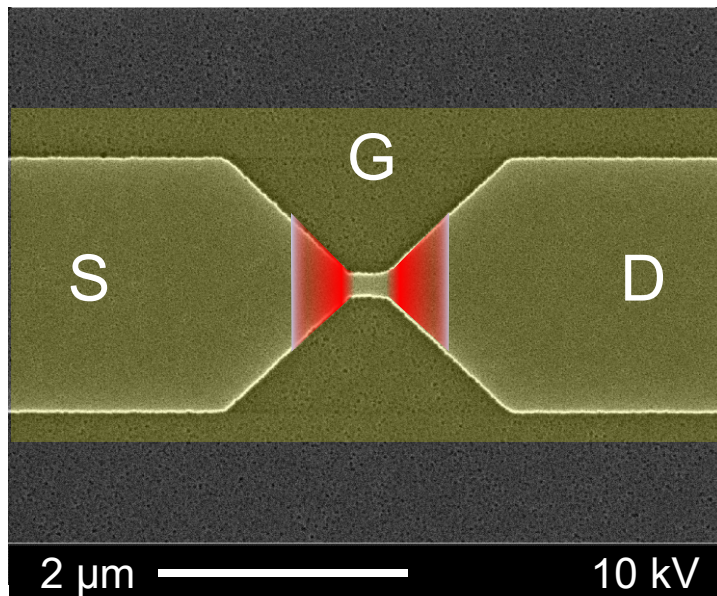


# 6. Quantendrähte

## 6.4 Quantenleitwert

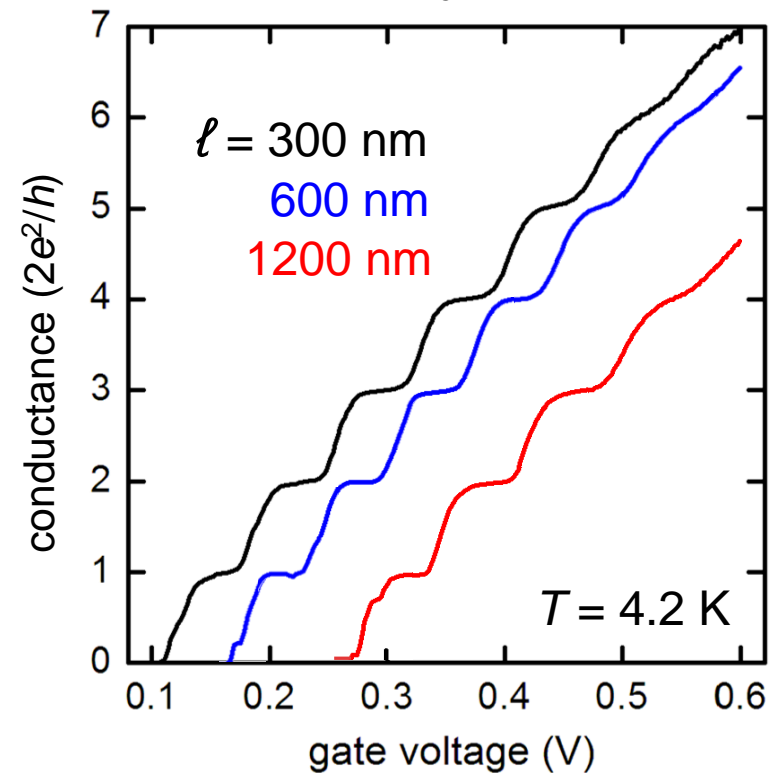
### Wo entsteht der Widerstand?

Quantenwiderstand durch Anpassung der Moden in den Streubereichen



$\ell = 300 \text{ nm}, w = 150 \text{ nm}$

Quantenwiderstand ist unabhängig von der Länge, im "Wellenleiter" gilt  $R_{\text{innen}} = 0$



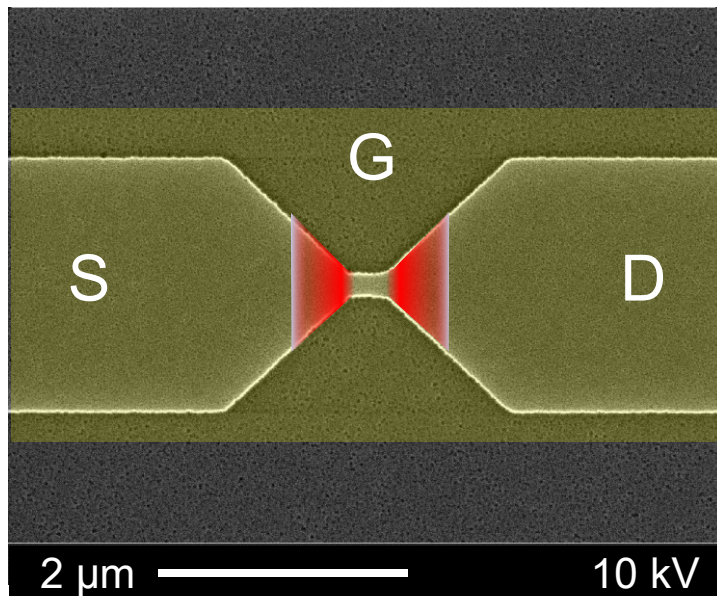
M. Knop *et al.* *Semicond. Sci. Technol.* **20**, 814 (2005)

# 6. Quantendrähte

## 6.4 Quantenleitwert

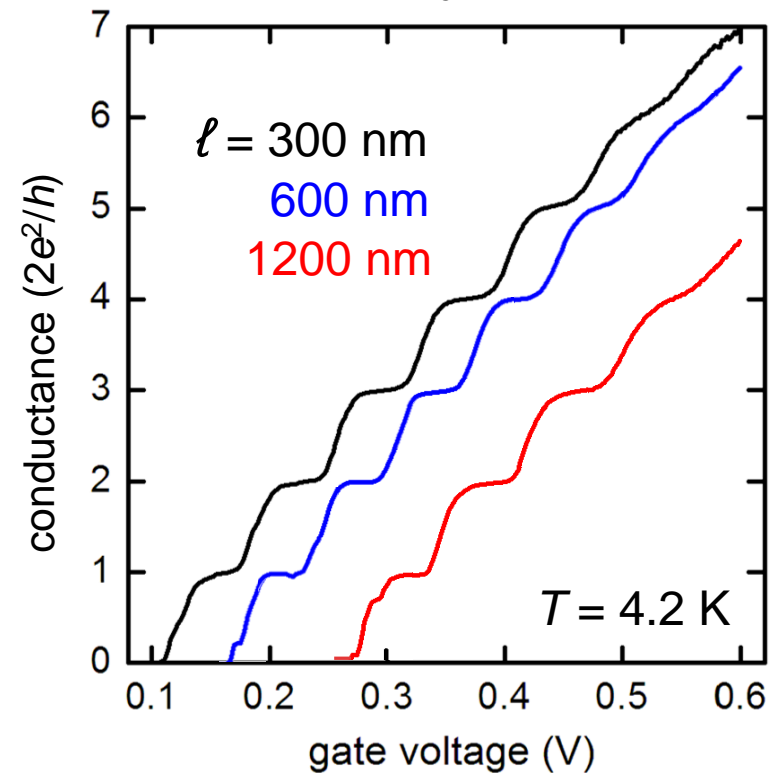
Wo entsteht der Widerstand?

$$\left[ \frac{2e^2}{h} \right] = \frac{e^2}{eVs} = \frac{e}{Vs} = \frac{As}{Vs} = \frac{A}{V}$$



$\ell = 300 \text{ nm}, w = 150 \text{ nm}$

Quantenwiderstand ist unabhängig von der Länge, im "Wellenleiter" gilt  $R_{\text{innen}} = 0$



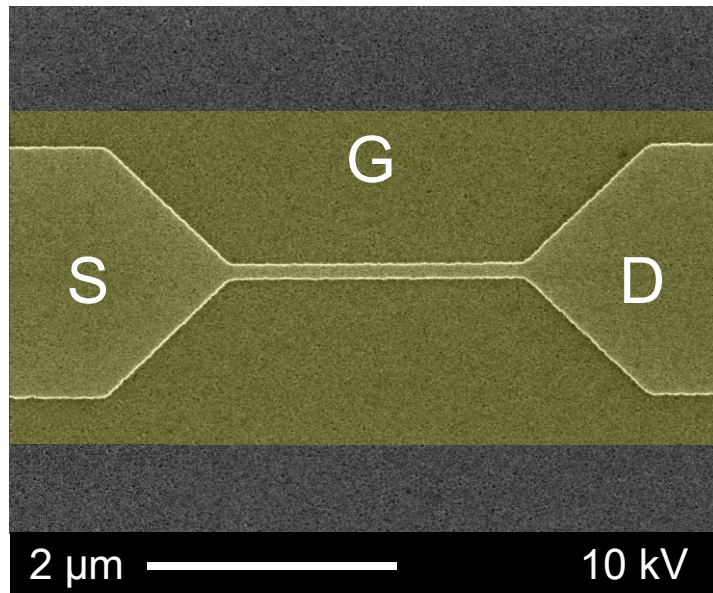
M. Knop *et al.* *Semicond. Sci. Technol.* **20**, 814 (2005)

# 6. Quantendrähte

## 6.4 Quantenleitwert

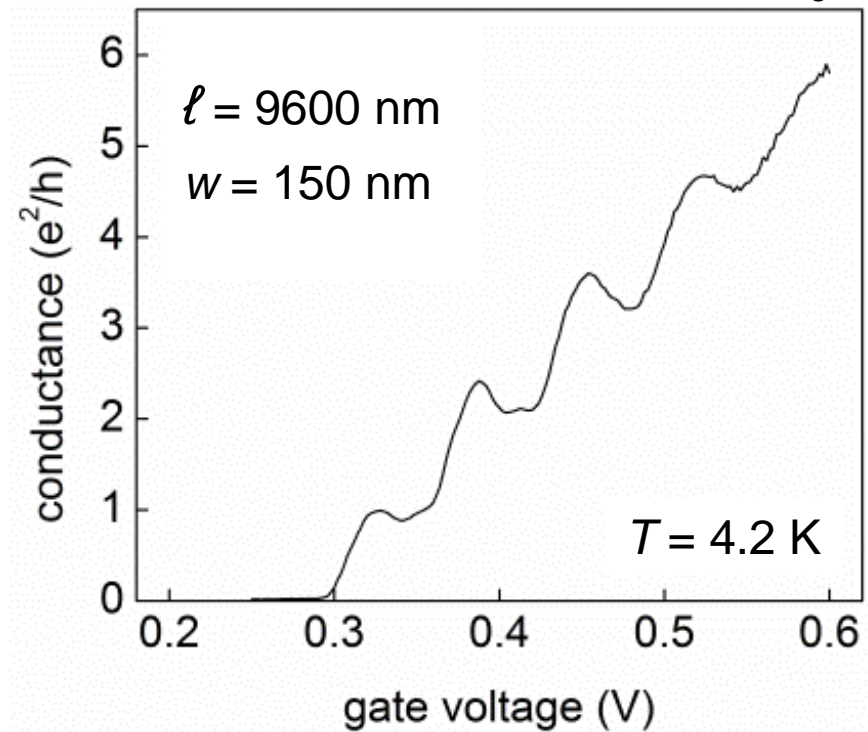
Beobachtbar, wenn:  $\left\{ \begin{array}{l} \ell \ll \ell_e \quad \text{(Wellenleiter)} \\ k_B T \ll \Delta E_{n,n+1} \quad \text{(tiefe Temperatur)} \end{array} \right.$

langer Quantendraht



$\ell = 2400 \text{ nm}, w = 100 \text{ nm}$

Widerstand oszilliert, wenn  $\ell \approx \ell_e$

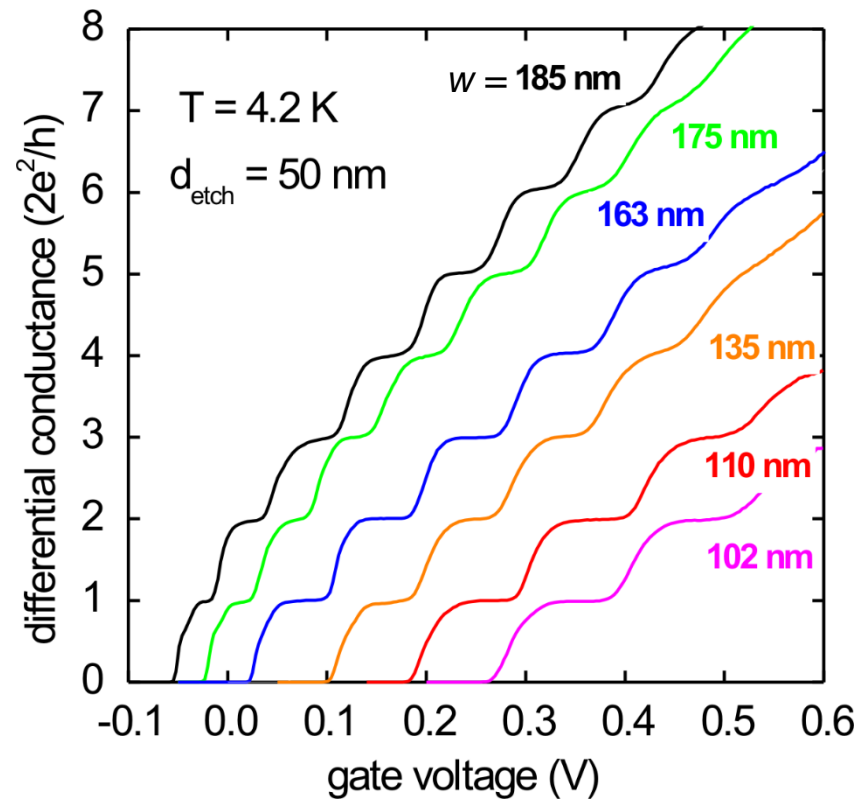
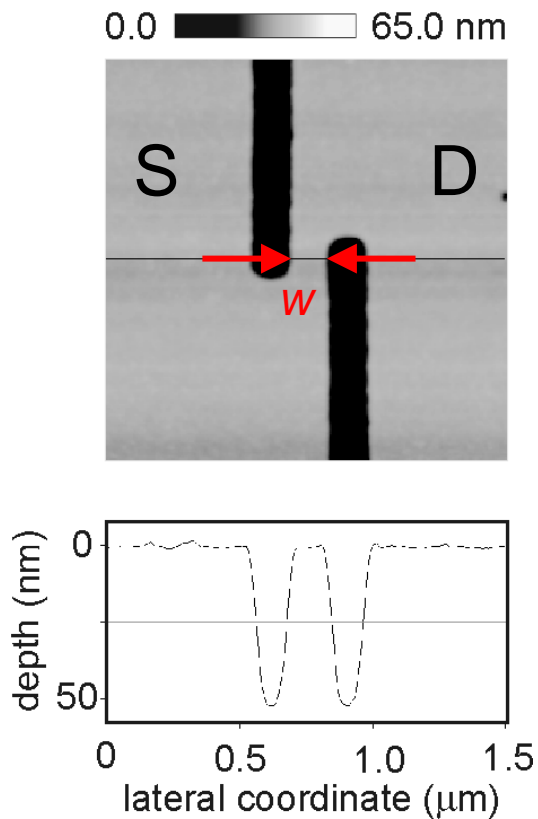


M. Knop *et al.* Semicond. Sci. Technol. **20**, 814 (2005)

# 6. Quantendrähte

## 6.4 Quantenleitwert

### Quantenpunktkontakt



G. Apetrii *et al.*, *Semicond. Sci. Technol.* **17**, 735-739 (2002)

# 6. Quantendrähte

## 6.4 Quantenleitwert

### Quantenleitwert

Der Quantenwert des Leitwerts durch einen elektronischen Wellenleiter gilt nur näherungsweise: An den Kontaktstellen zwischen 2D-Reservoir und 1D-Kanal findet eine **quantenmechanische Reflexion** statt, die um so stärker ist, je abrupter der Übergang in die Einschränkung erfolgt. Weitere Einflüsse sind **Tunneleffekt**, die **Kopplung von Moden**, Streuung im 1D-System,  $e - e$ -Wechselwirkung, ein äußerer Serienwiderstand  $R_S$  sowie thermische Verschmierung.

Allgemeiner Leitwert für eine Transmissionsamplitude  $t_{m,n}$  zwischen der eintretenden Mode  $m$  und der austretenden  $n$ :

$$g_D = \frac{2e^2}{h} \sum_{(m,n)} |t_{m,n}|^2 \approx N \cdot \frac{2e^2}{h}$$

M. Büttiker *et al.*, Phys. Rev. B **41**, 7906 (1990)

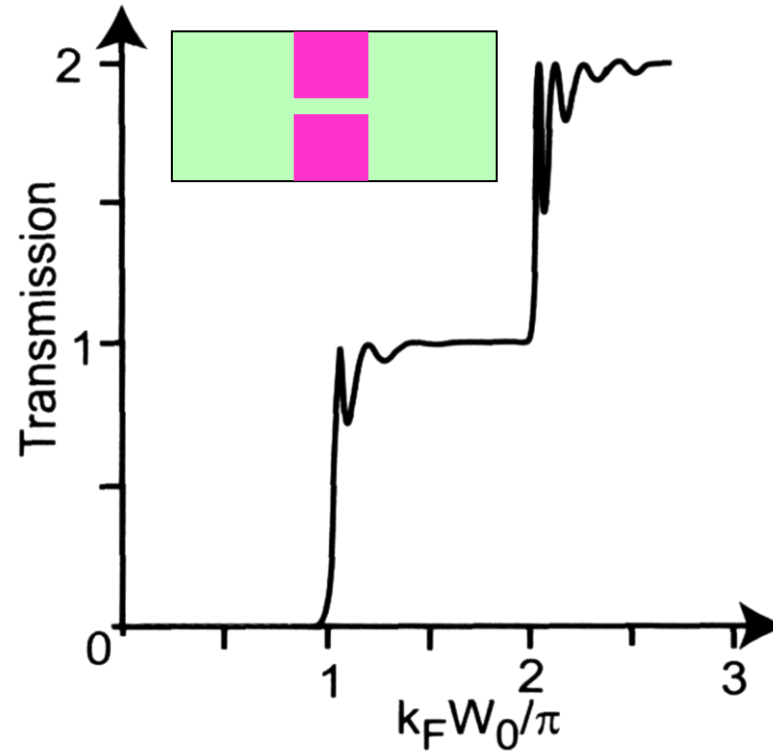
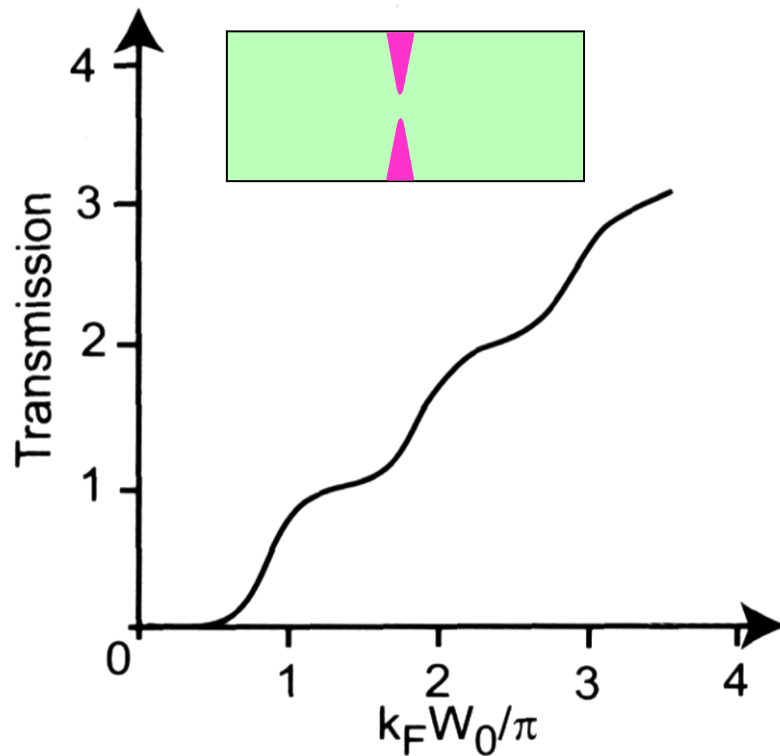
T. Heinzel: Mesoscopic electronics in solid state nanostructures. Wiley-VCH, Weinheim 2003

# 6. Quantendrähte

## 6.4 Quantenleitwert

### Quantenleitwert

Einfluss der Geometrie auf die Quantisierung: **Tunneleffekt** **Längsresonanz**



M. Büttiker *et al.*, Phys. Rev. B **41**, 7906 (1990)

T. Heinzel: Mesoscopic electronics in solid state nanostructures. Wiley-VCH, Weinheim 2003

# 6. Quantendrähte

## 6.4 Quantenleitwert

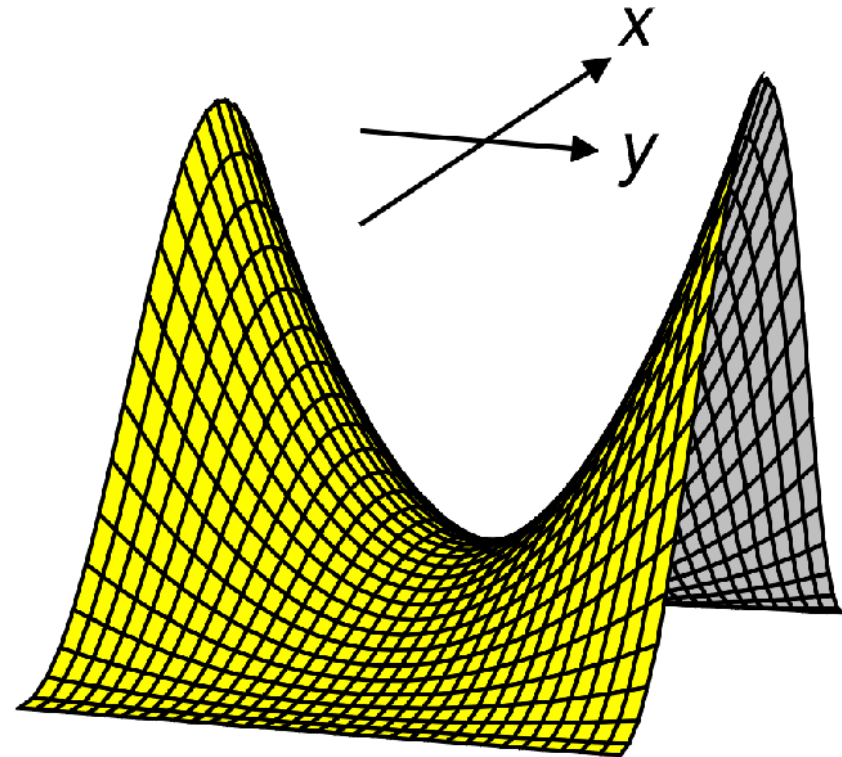
### Quantenpunktkontakt

Einfluss der Form des Sattelpotentials auf die Quantisierung

Beschreibung der Sattelform durch:

$$V(x, y) =$$

$$V_0 + \frac{1}{2}m^* (\omega_y^2 y^2 - \omega_x^2 x^2)$$



M. Büttiker *et al.*, Phys. Rev. B **41**, 7906 (1990)

T. Heinzel: Mesoscopic electronics in solid state nanostructures. Wiley-VCH, Weinheim 2003

# 6. Quantendrähte

## 6.4 Quantenleitwert

### Quantenpunktkontakt

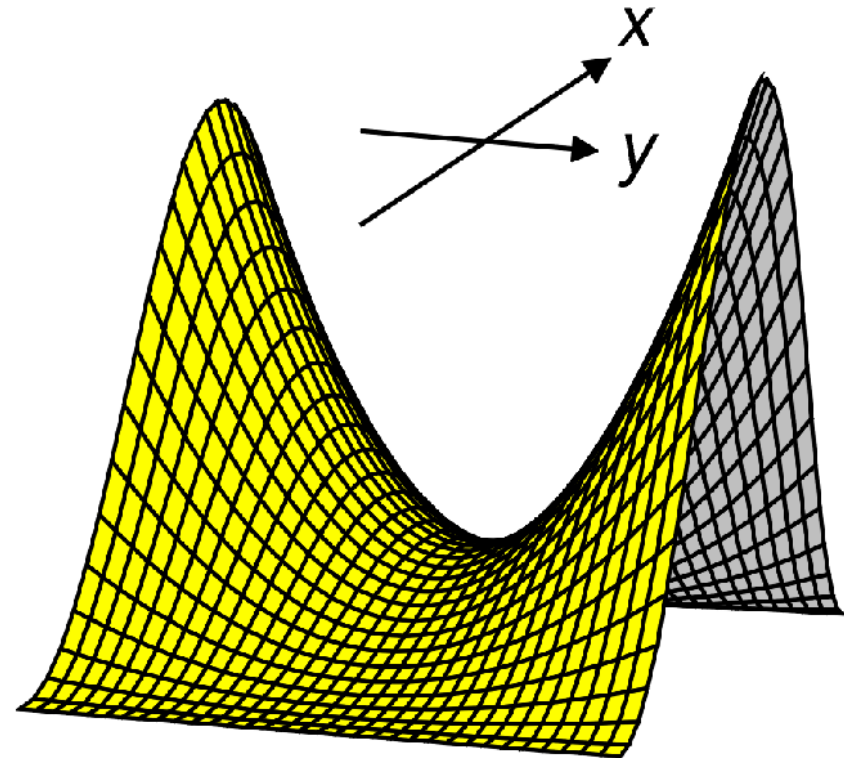
Einfluss der Form des Sattelpotentials auf die Quantisierung:

Ausgeprägte Plateaus  
werden erwartet für :

$$\omega_y \gg \omega_x$$

Tunneleffekt dominiert für

$$\omega_y < \omega_x$$



M. Büttiker *et al.*, Phys. Rev. B **41**, 7906 (1990)

T. Heinzel: Mesoscopic electronics in solid state nanostructures. Wiley-VCH, Weinheim 2003



# 6. Quantendrähte

## 6.4 Quantenleitwert

### Quantenpunktkontakt

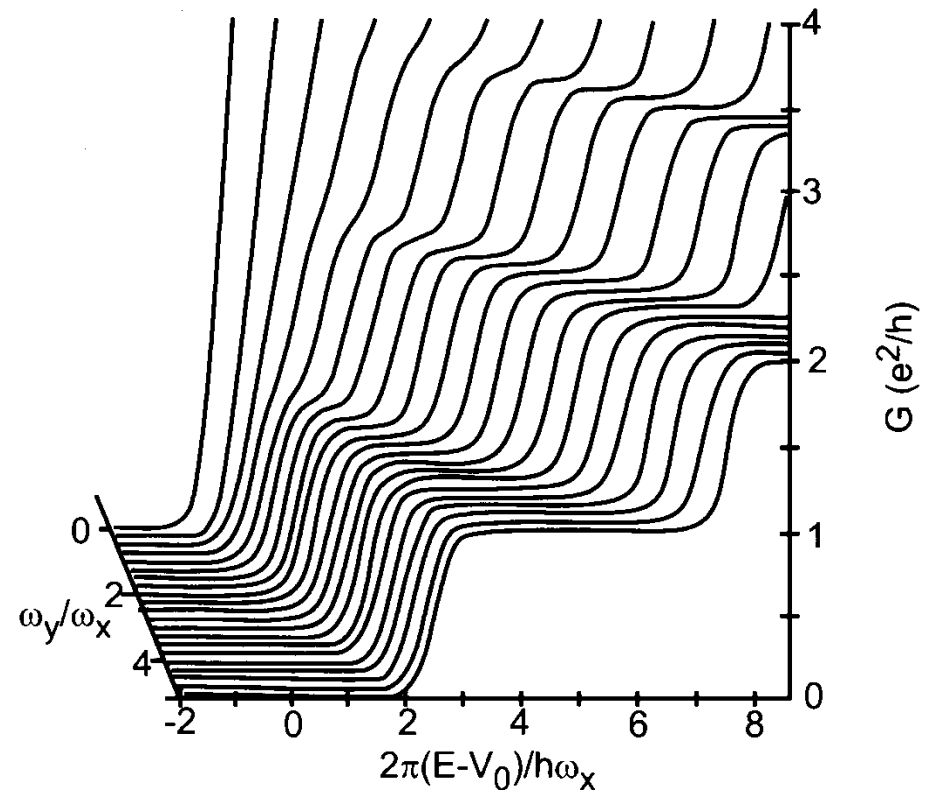
Einfluss der Form des Sattelpotentials auf die Quantisierung:

Ausgeprägte Plateaus  
werden erwartet für :

$$\omega_y \gg \omega_x$$

Tunneleffekt dominiert für

$$\omega_y < \omega_x$$



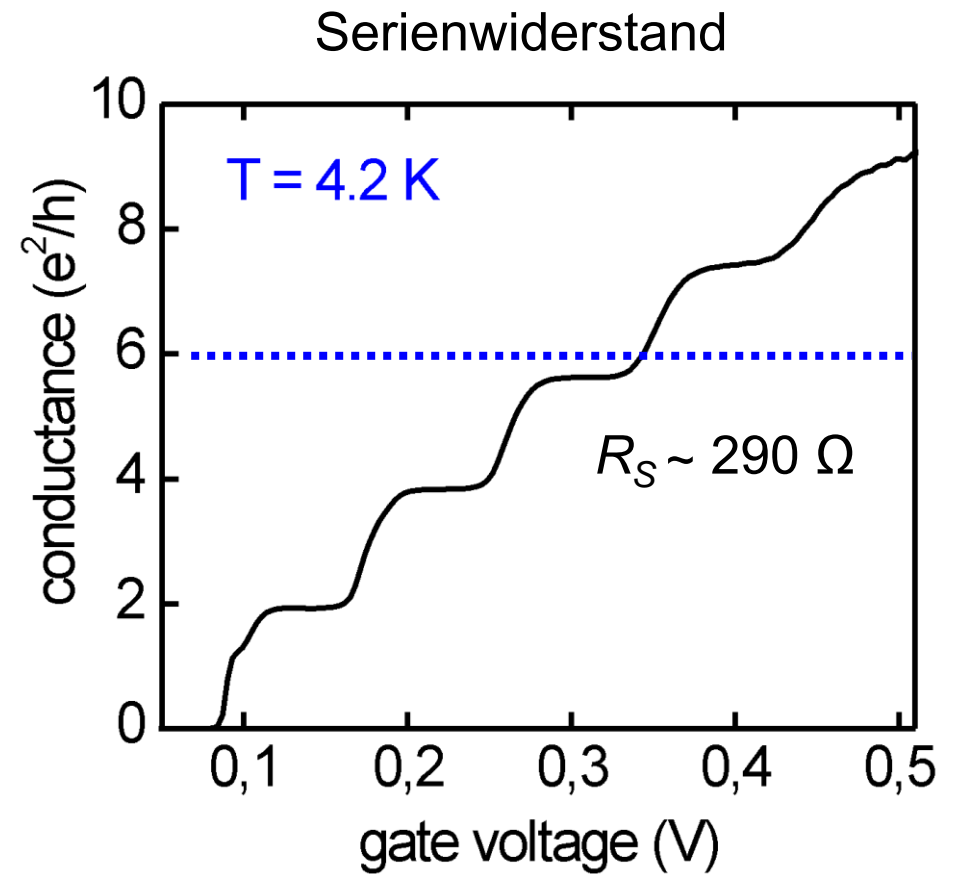
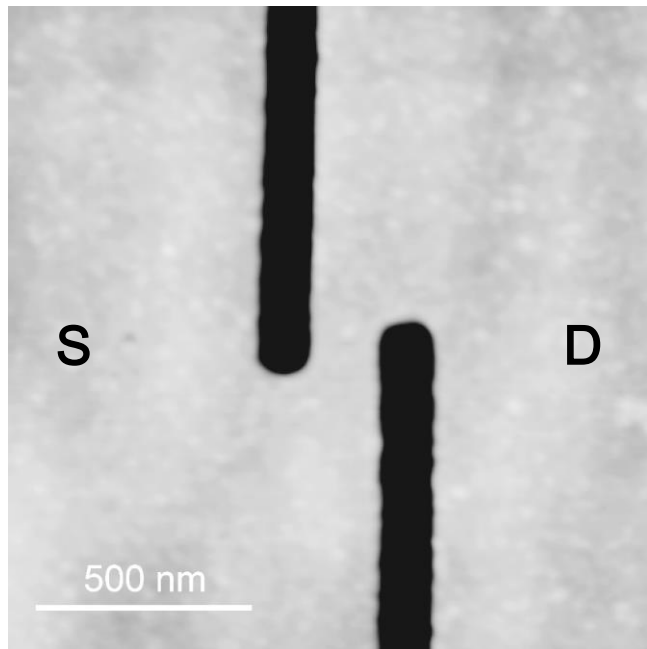
M. Büttiker *et al.*, Phys. Rev. B **41**, 7906 (1990)

T. Heinzel: Mesoscopic electronics in solid state nanostructures. Wiley-VCH, Weinheim 2003

# 6. Quantendrähte

## 6.4 Quantenleitwert

### Quantenpunktkontakt



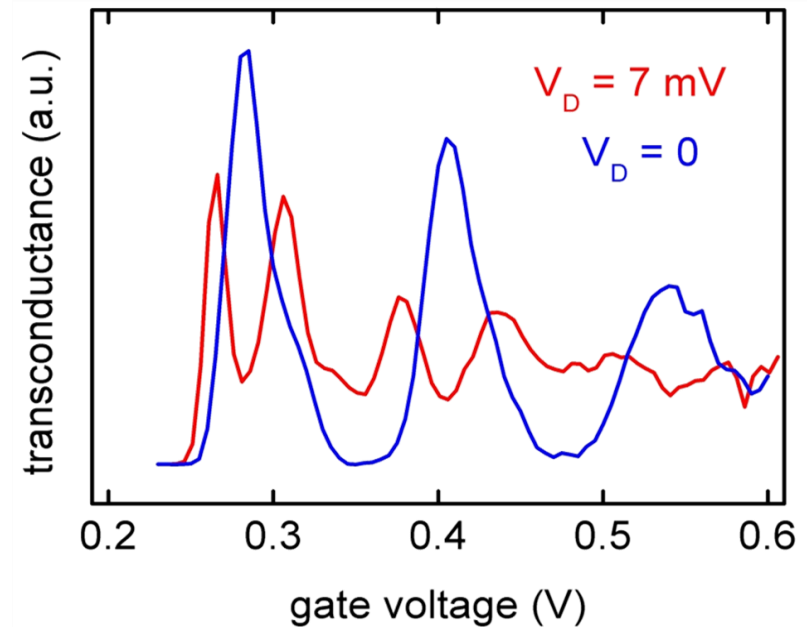
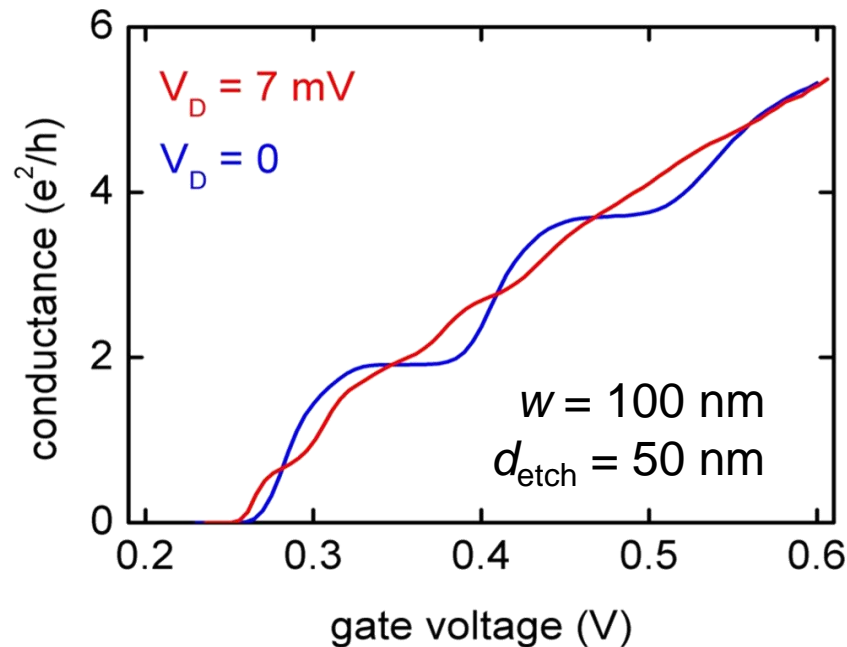
G. Apetrii *et al.*, *Semicond. Sci. Technol.* **17**, 735-739 (2002)

# 6. Quantendrähte

## 6.4 Quantenleitwert

### Quantenpunktkontakt

Differentieller Leitwert  $g_D = dI_D/dV_D$  und Steilheit  $g_m = dg_D/dV_G$  unter endlicher Gleichvorspannung: Entwicklung von Halbplateaus



G. Apetii *et al.*, *Semicond. Sci. Technol.* **17**, 735-739 (2002)  
 N. K. Patel *et al.* *Phys. Rev. B* **44**, 13549 (1991)

# 6. Quantendrähte

## 6.4 Quantenleitwert

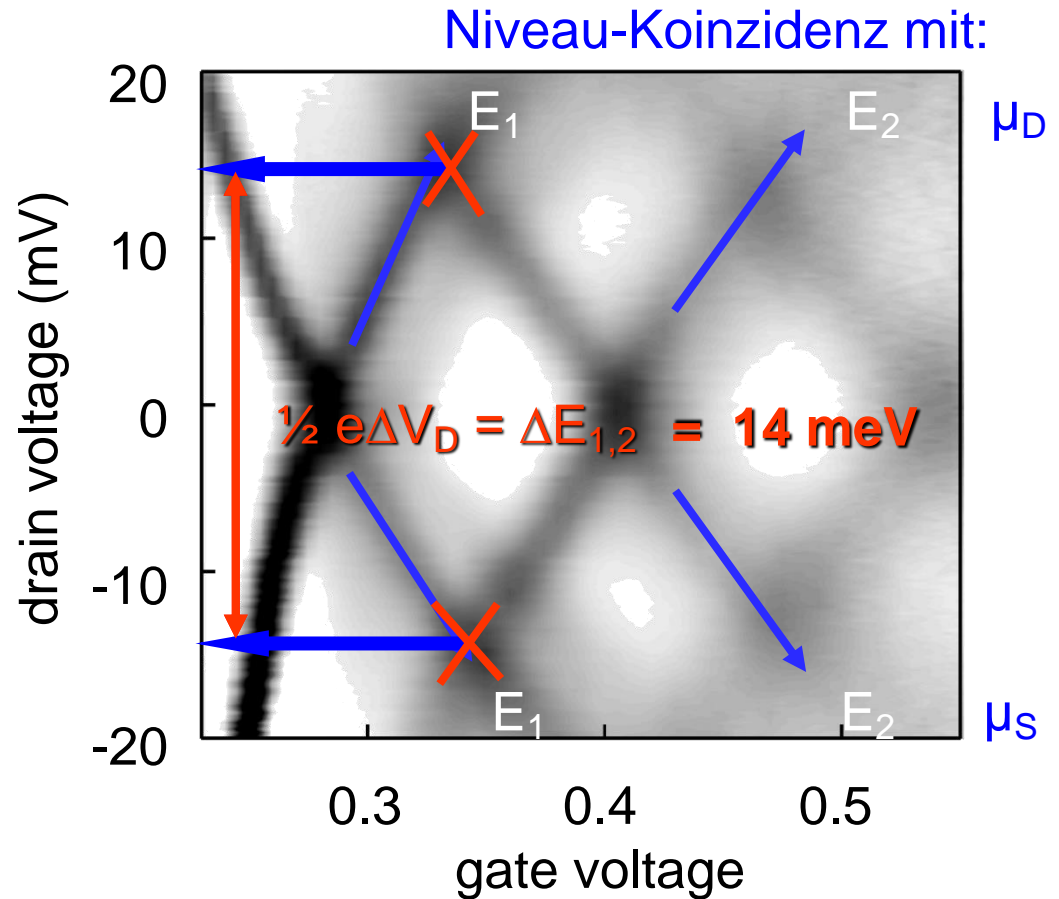
### Quantenpunktkontakt

Auftragung von  $g_m$  als Graustufen über  $V_D$  und  $V_G$ ,  
Bestimmung der Subbandabstände:

$$\Delta E_{n,n+1}$$

$$w = 100 \text{ nm}$$

$$d_{\text{etch}} = 50 \text{ nm}$$

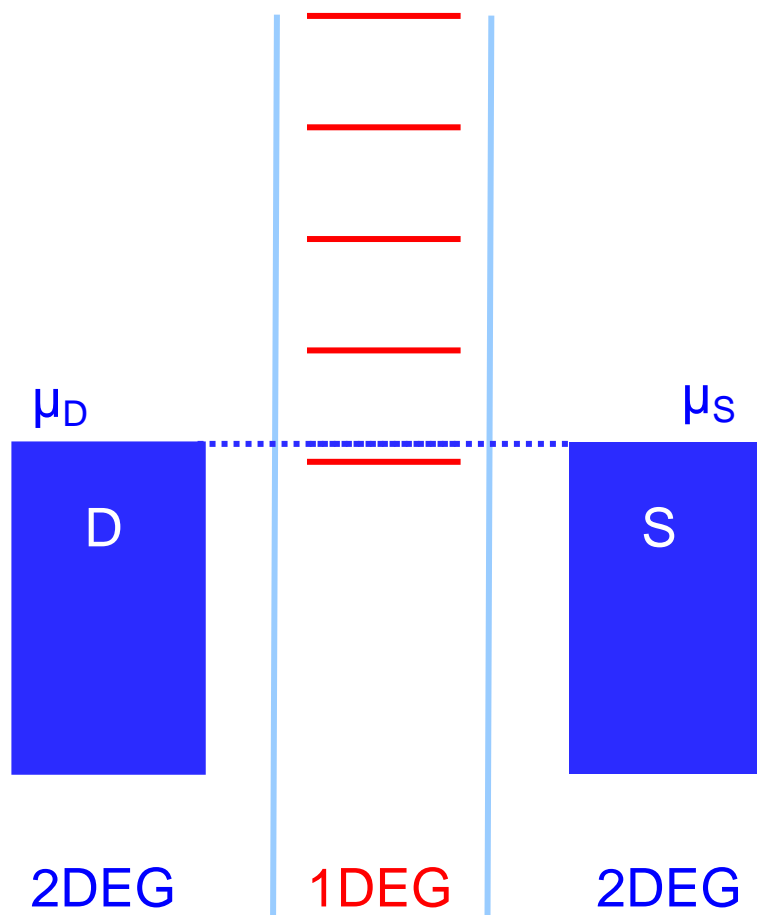


G. Apetrii *et al.*, *Semicond. Sci. Technol.* **17**, 735-739 (2002)  
K. J. Thomas *et al.* *Appl. Phys. Lett.* **67**, 109 (1995)

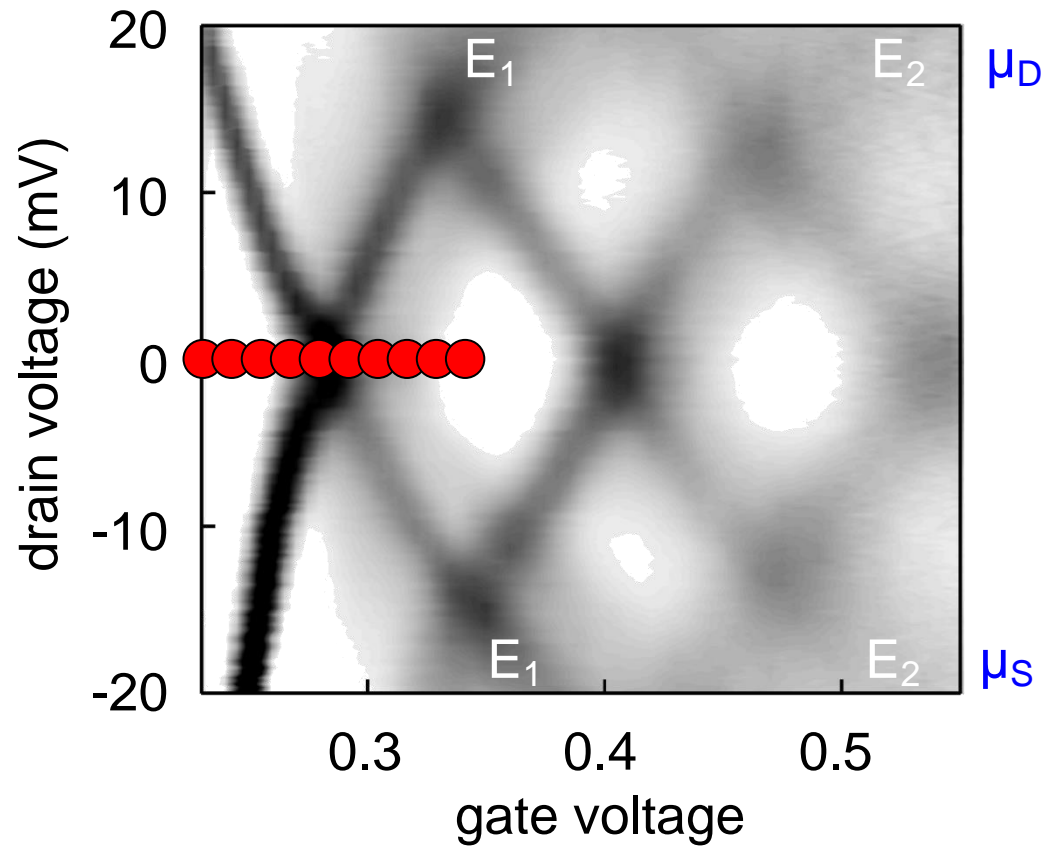
# 6. Quantendrähte

## 6.4 Quantenleitwert

### Quantenpunktkontakt



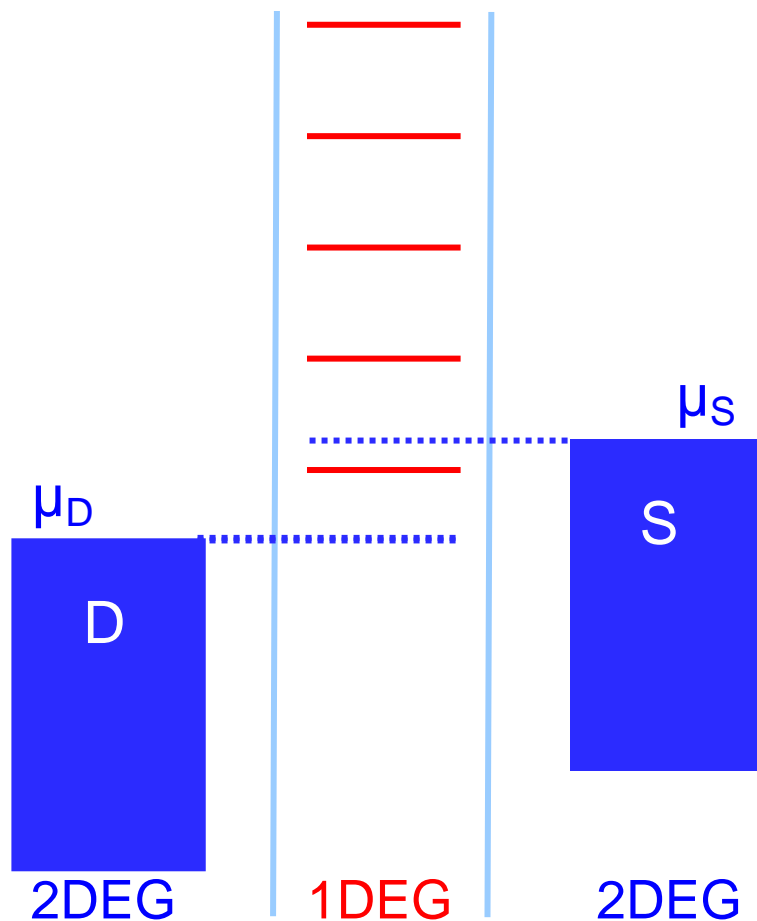
Bestimmung der Subbandabstände:  
Gatespannung



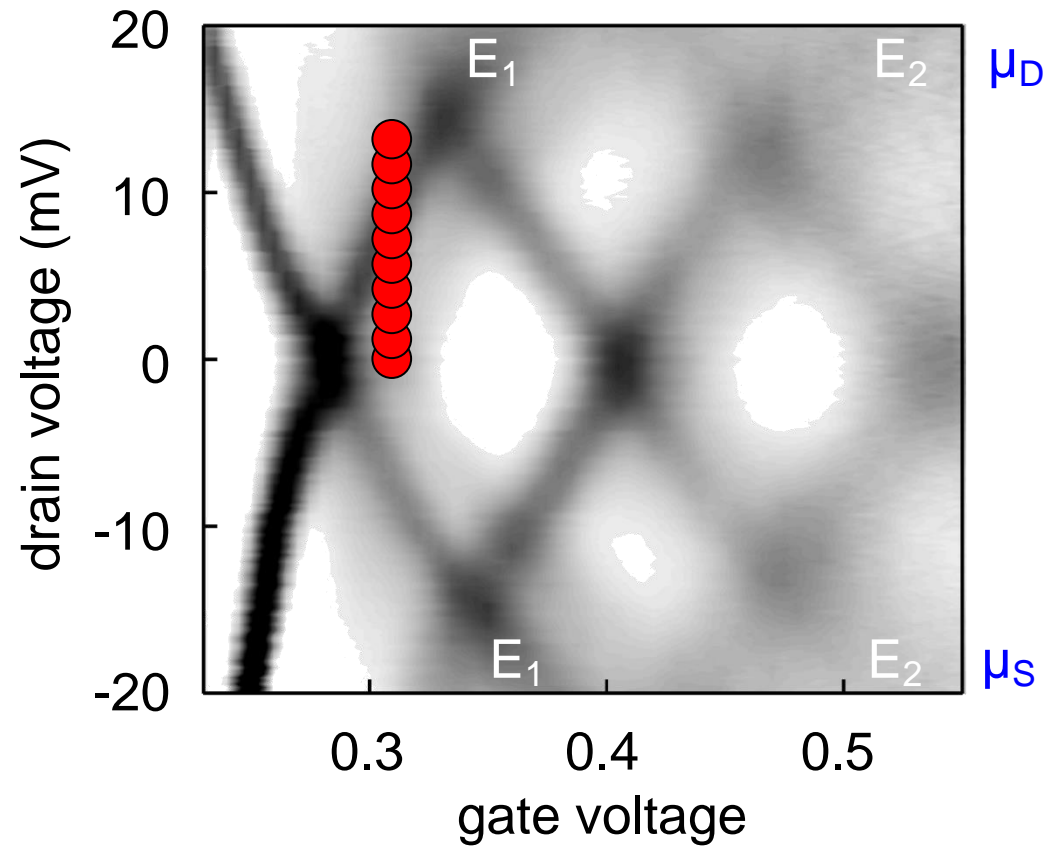
# 6. Quantendrähte

## 6.4 Quantenleitwert

### Quantenpunktkontakt



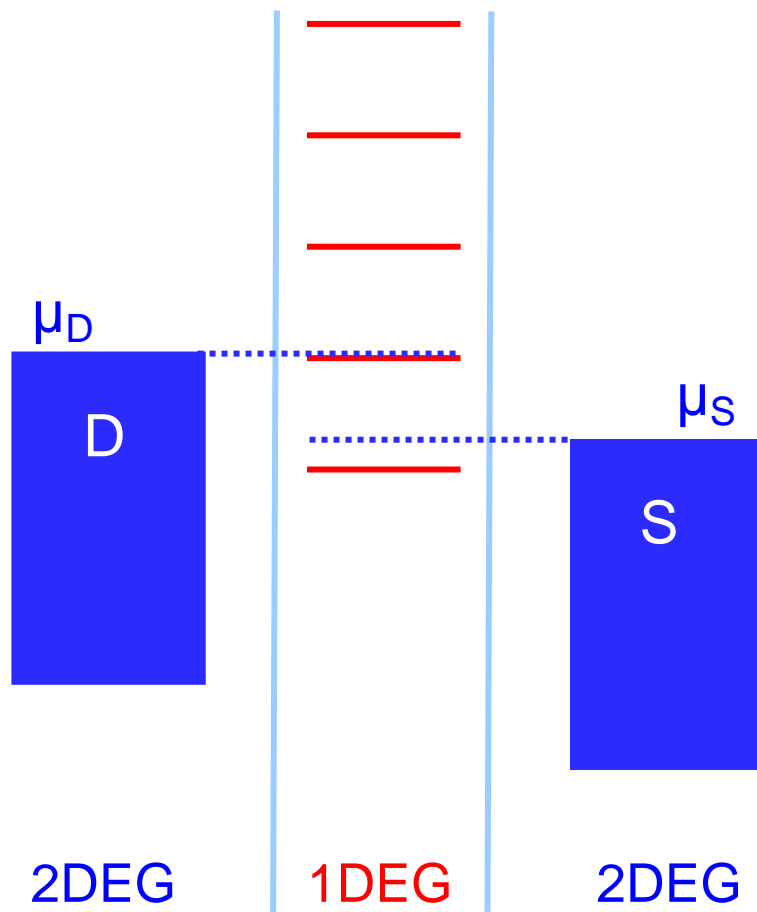
Bestimmung der Subbandabstände:  
Drainspannung (+)



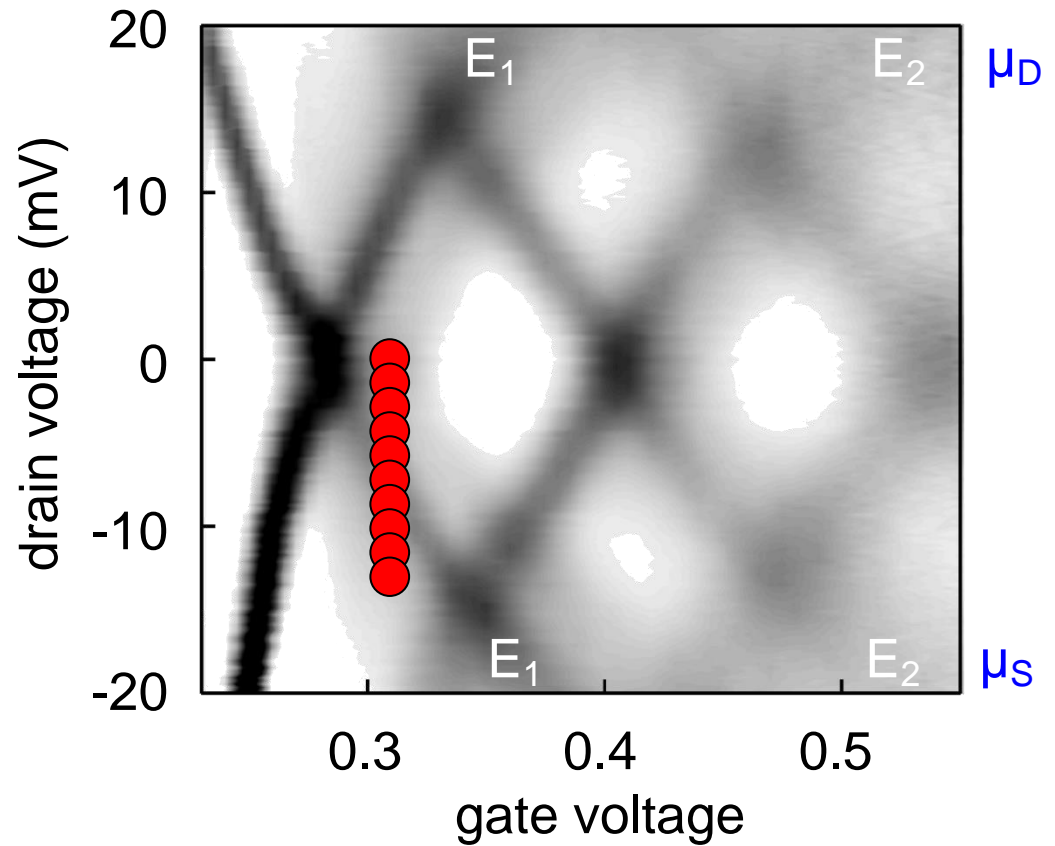
# 6. Quantendrähte

## 6.4 Quantenleitwert

### Quantenpunktkontakt



Bestimmung der Subbandabstände:  
Drainspannung (-)



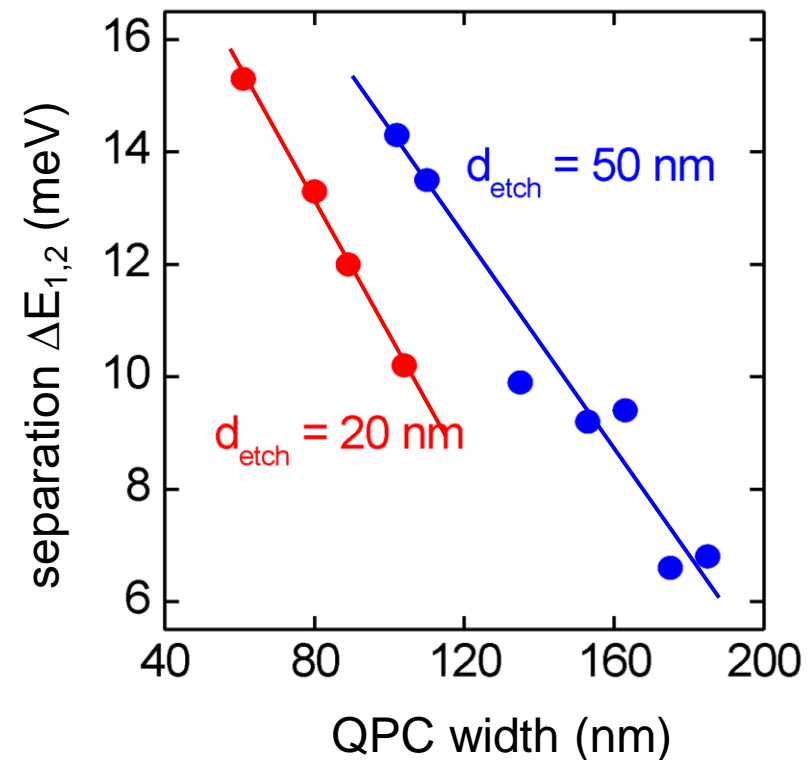
# 6. Quantendrähte

## 6.4 Quantenleitwert

### Quantenpunktkontakt

Bestimmung der  
Subbandabstände:

$$\Delta E_{n,n+1} = f(w, d_{\text{etch}})$$



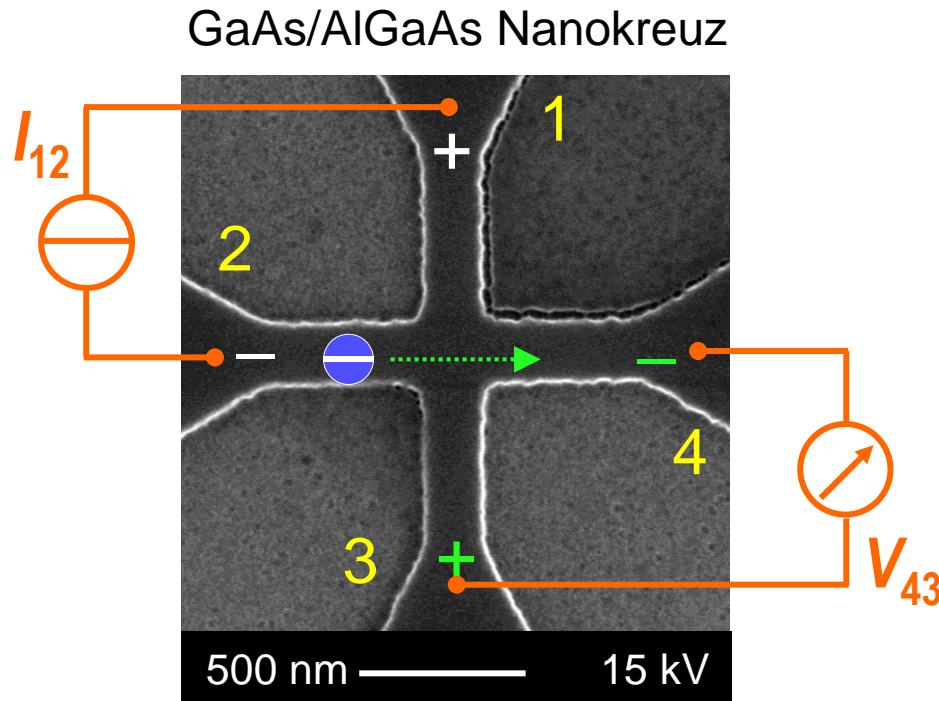
G. Apetrii *et al.*, *Semicond. Sci. Technol.* **17**, 735-739 (2002)



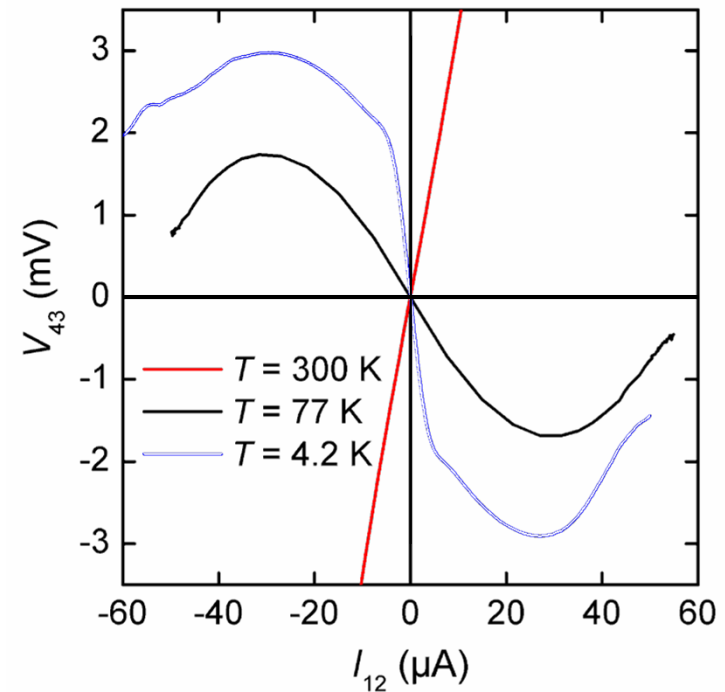
# 6. Quantendrähte

## 6.5 Ballistischer Transport heißer Elektronen

### Bend Resistance: GaAs/AlGaAs



Die **Trägheit** der Elektronen mit ihrer endlichen Masse liefert den **nichtlokalen Bend Resistance**.

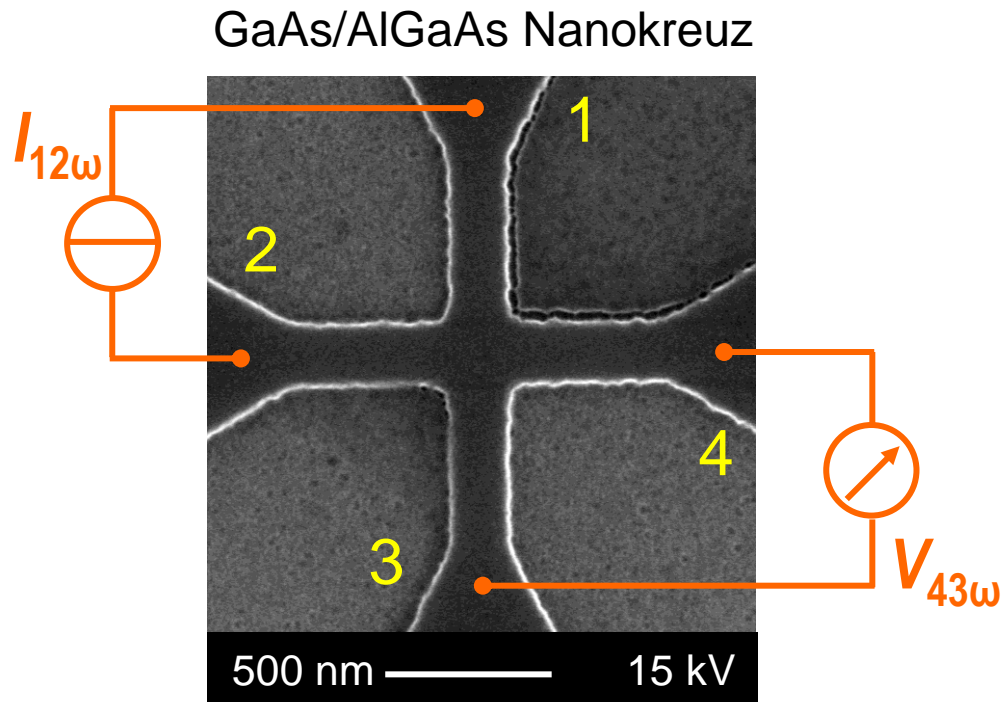


Y. Takagaki *et al.* Solid State Commun. **71**, 809 (1989)  
 U. Wieser *et al.* Phase Transitions **79**, 755 (2006)

# 6. Quantendrähte

## 6.5 Ballistischer Transport heißer Elektronen

### Bend Resistance: GaAs/AlGaAs

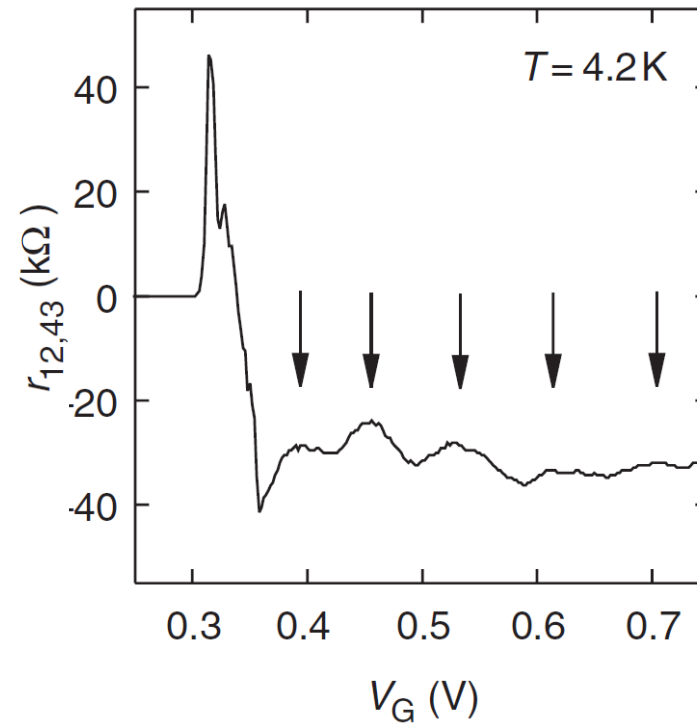


Die Steigung im Nullpunkt

$$r_{12,34} = V_{34}/I_{12}$$

zeigt Signaturen der

**Modenbesetzung.**

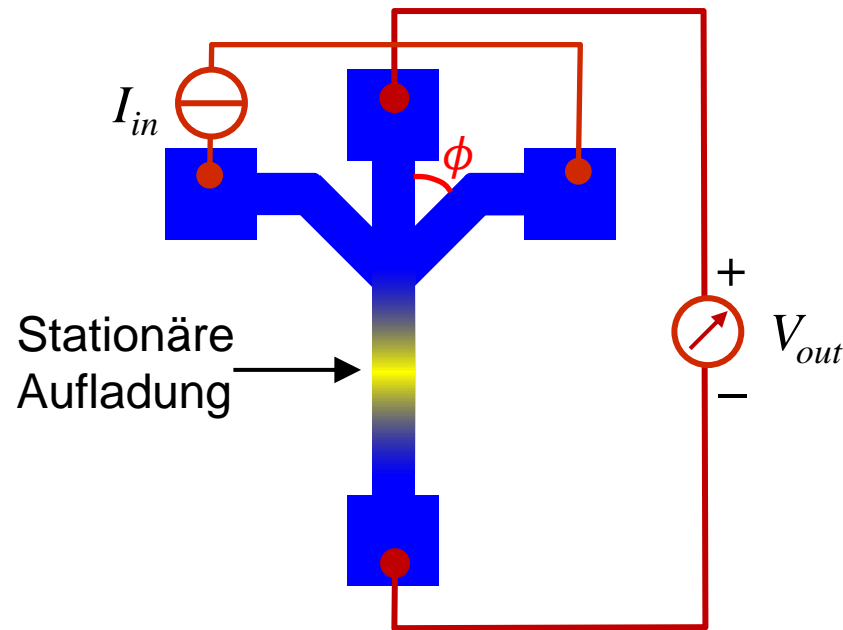


T. Kakuta *et al.*, Phys. Rev. B **43**, 14321 (1991)  
 U. Wieser *et al.*, Phase Transitions **79**, 755 (2006)

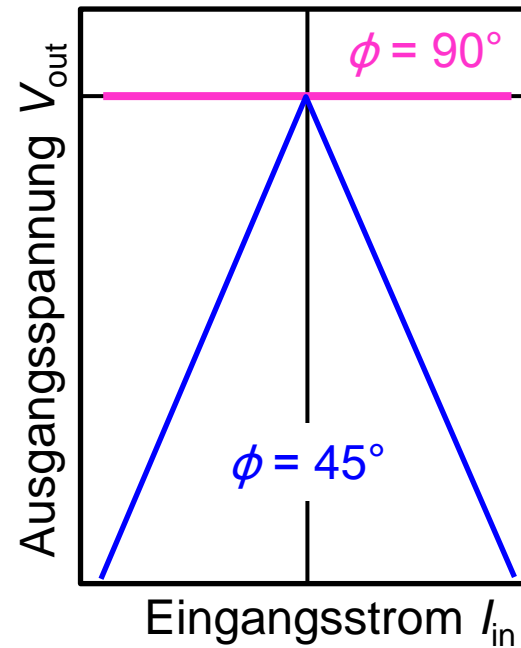
# 6. Quantendrähte

## 6.5 Ballistischer Transport heißer Elektronen

### Ballistische Gleichrichtung



Kontrolle der Trajektorien durch asymmetrisches Kreuz



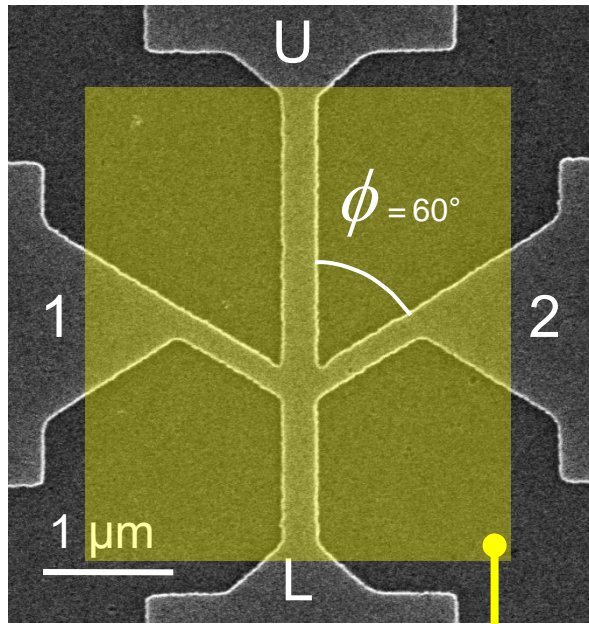
**Lineare Charakteristik wie beim Bend Resistance?**

Keine Einsatzspannung!

# 6. Quantendrähte

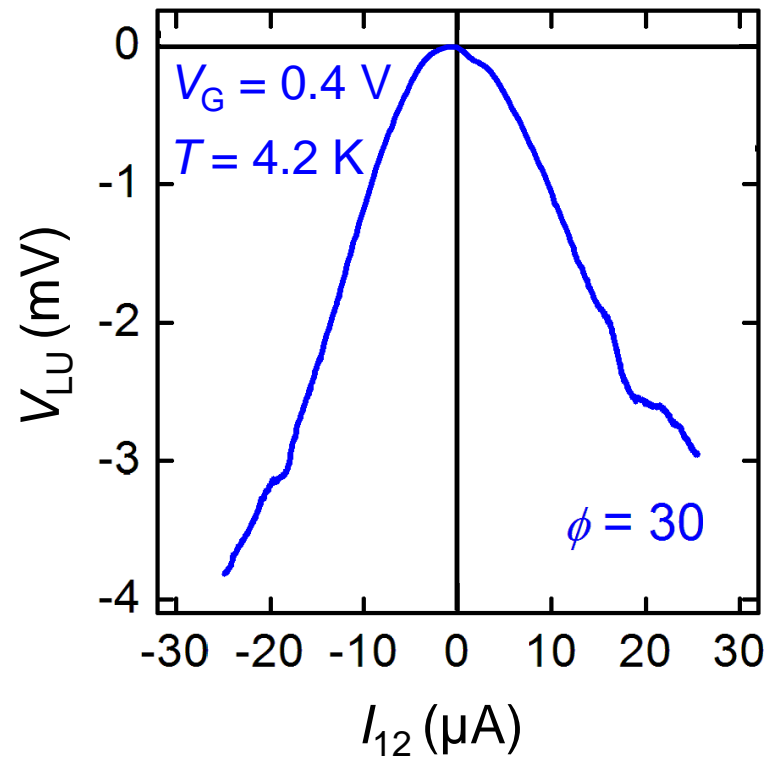
## 6.5 Ballistischer Transport heißer Elektronen

### Ballistische Gleichrichtung: GaAs/AlGaAs



globales top gate

Transferwiderstand  
 $R_T(10 \mu A) \sim 110 \Omega$



experimentelles Ergebnis: Parabel

M. Knop et al., Appl. Phys. Lett. **88**, 082110 (2006)

# 6. Quantendrähte

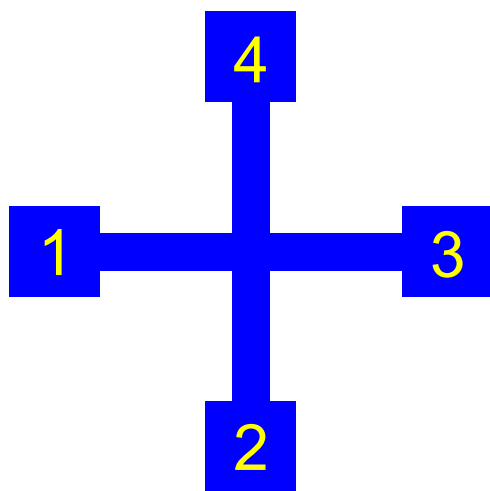
## 6.5 Ballistischer Transport heißer Elektronen

### Vergleich: Orthogonalkreuz und ballistischer Gleichrichter

Vierpolwiderstand im **linearen** Transport: Reziprozitätstheorem

(Widerstand ist invariant gegen Vertauschung von **Strom**- und **Spannung**kontakten)

$$R_{mn,kl} = R_{kl,mn}$$



$$R_{34,12} = \frac{V_{12}}{I_{34}} \neq 0$$

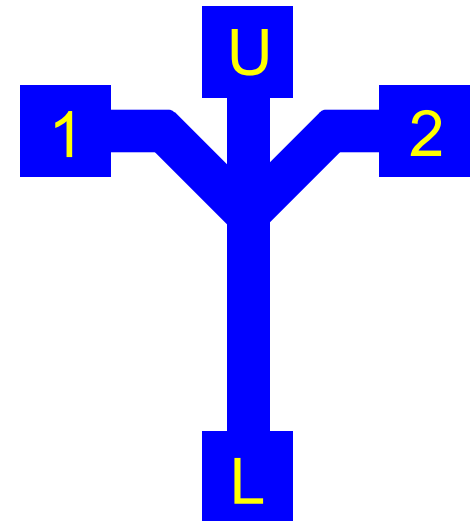


$$R_{12,34} = \frac{V_{34}}{I_{12}} \neq 0$$

$$R_{UL,12} = \frac{V_{12}}{I_{UL}} = 0$$



$$R_{12,UL} = \frac{V_{UL}}{I_{12}} = 0$$



M. Büttiker, IBM J. Res. Develop. **32**, 317 (1988)

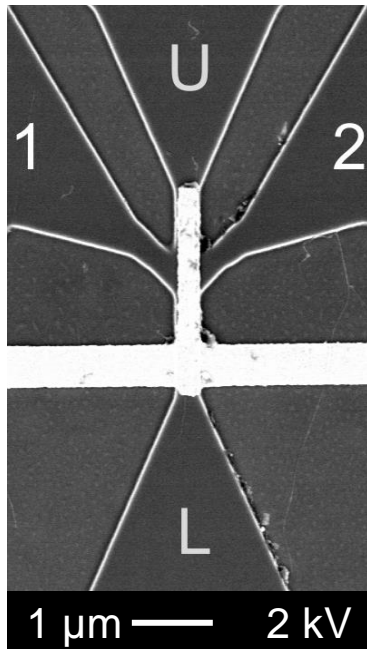
# 6. Quantendrähte

## 6.5 Ballistischer Transport heißer Elektronen

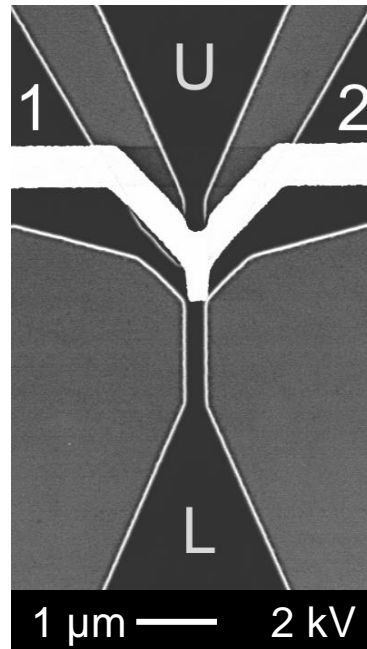
Ballistische Gleichrichtung: Si/SiGe

Einfluss der Position der Gate-Elektrode

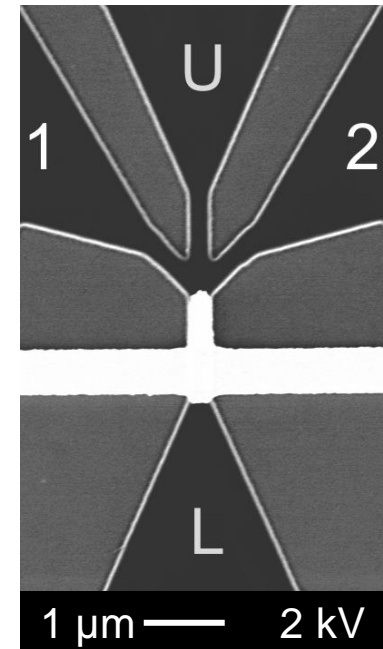
ganzer Stamm



oberer Stamm



unterer Stamm



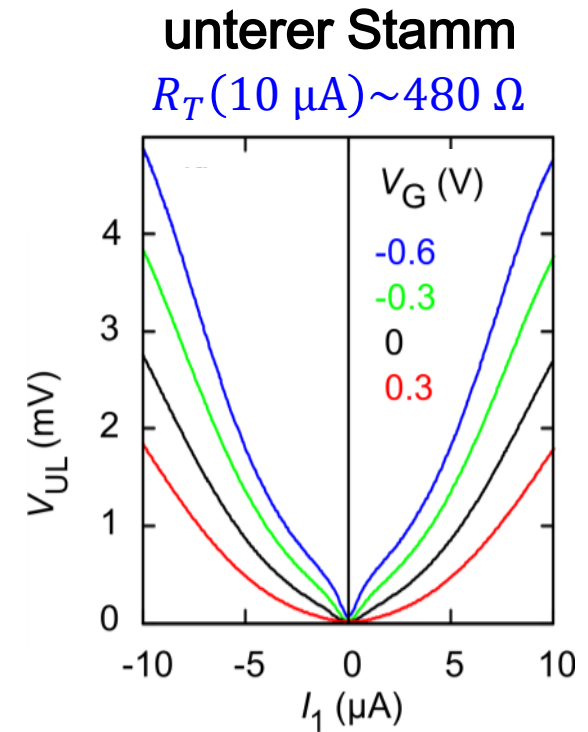
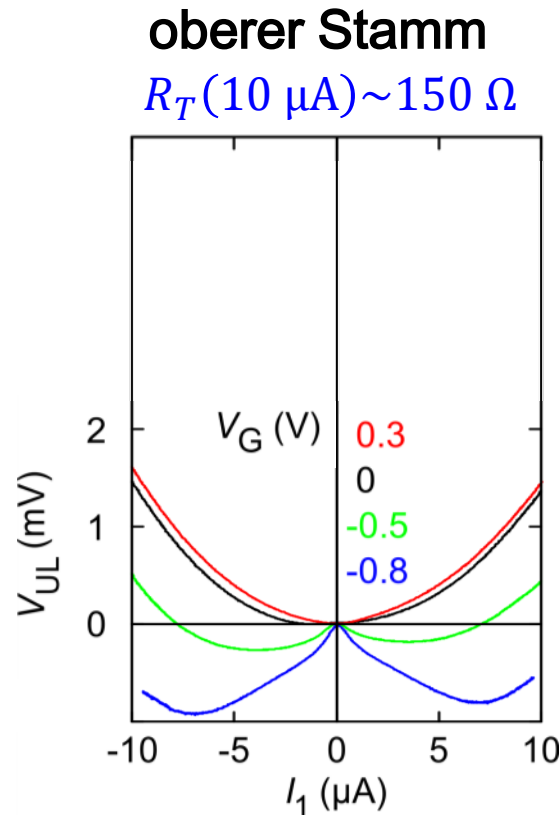
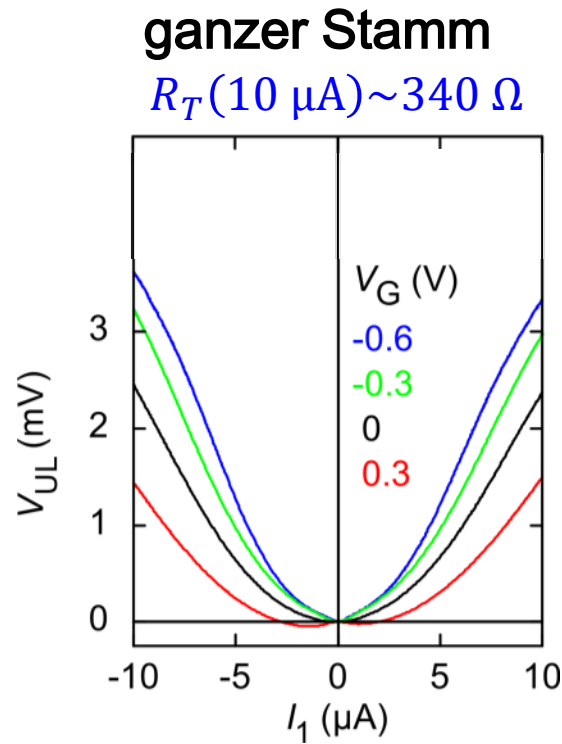
D. Salloch *et al.* Appl. Phys. Lett. **94**, 203503 (2009)

# 6. Quantendrähte

## 6.5 Ballistischer Transport heißer Elektronen

### Ballistische Gleichrichtung: Si/SiGe

Einfluss der Position der Gate-Elektrode



Überlagerung mit Thermospannung heißer Elektronen!

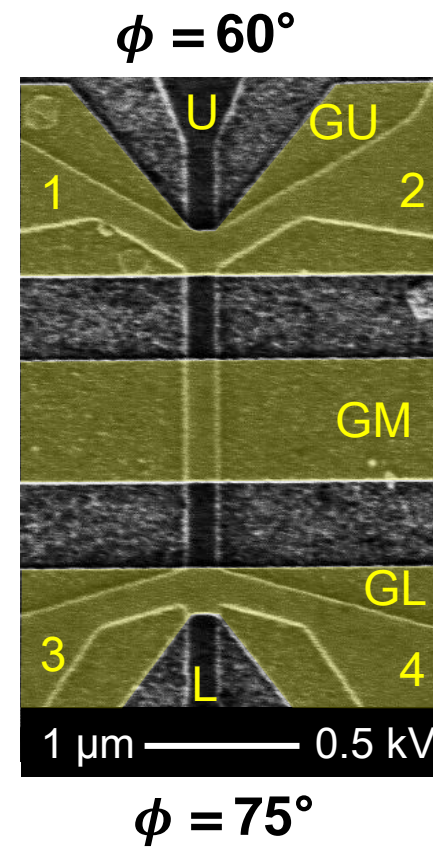
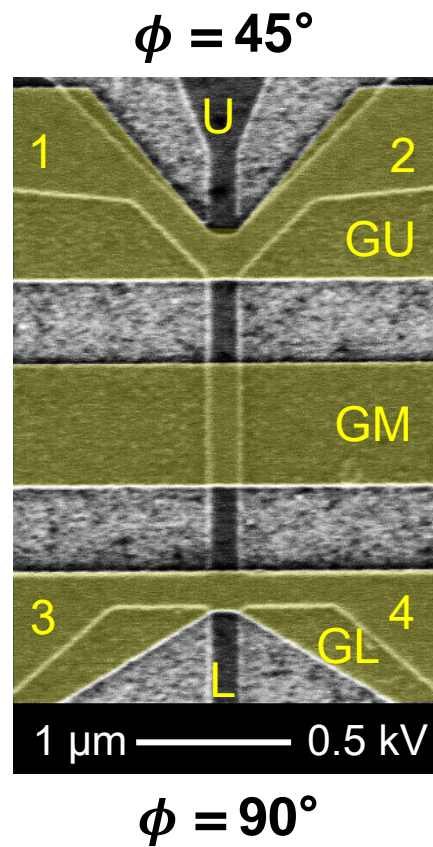
D. Salloch *et al.* Appl. Phys. Lett. **94**, 203503 (2009)

# 6. Quantendrähte

## 6.5 Ballistischer Transport heißer Elektronen

Ballistische Gleichrichtung: Si/SiGe

Einfluss des Injektionswinkels



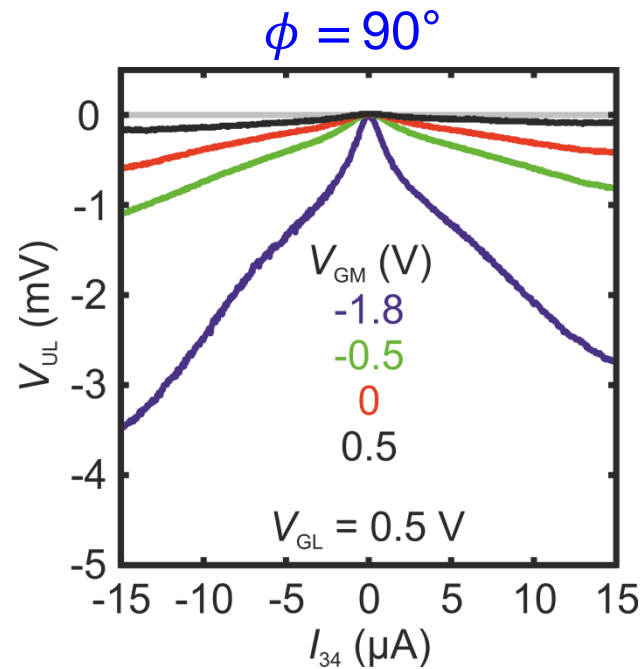
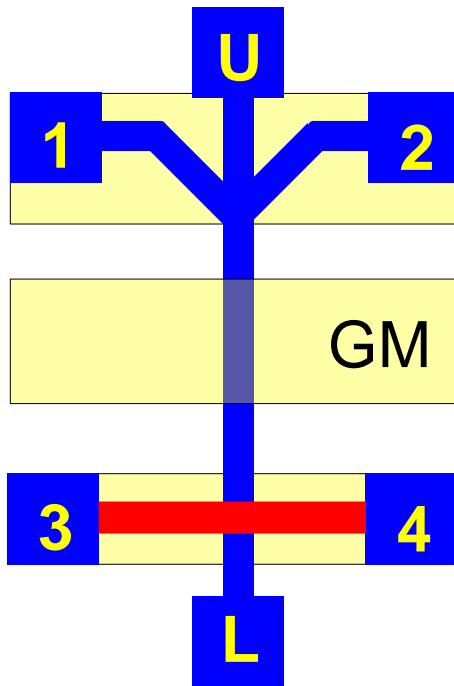
J. F. von Pock *et al.*, J. Appl. Phys. **121**, 014304 (2017)



# 6. Quantendrähte

## 6.5 Ballistischer Transport heißer Elektronen

Ballistische Gleichrichtung: Si/SiGe Trennung von  $V_{\text{HET}}$  und  $V_{\text{ball}}$



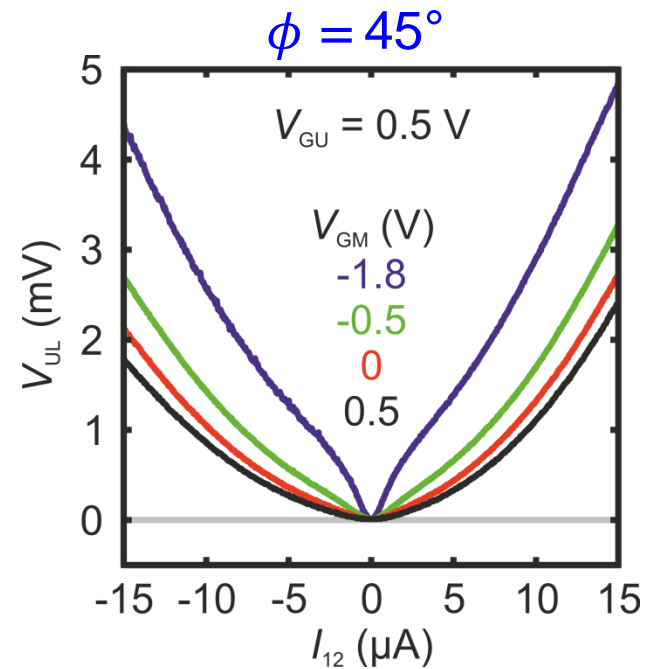
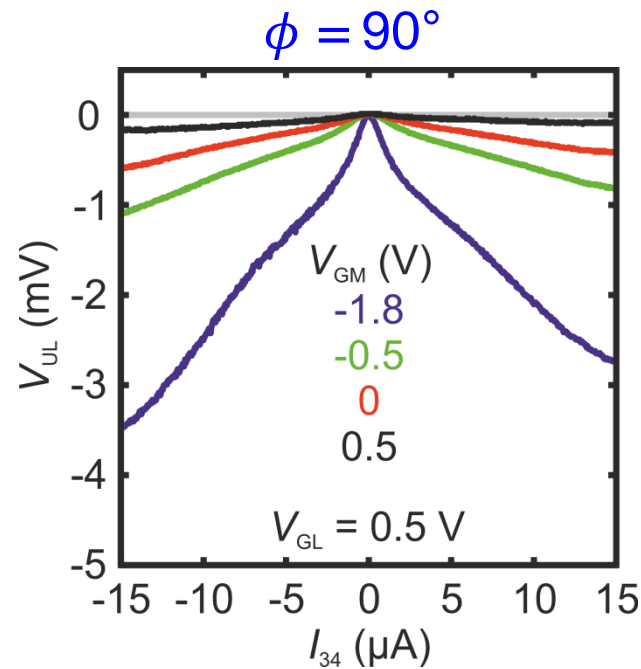
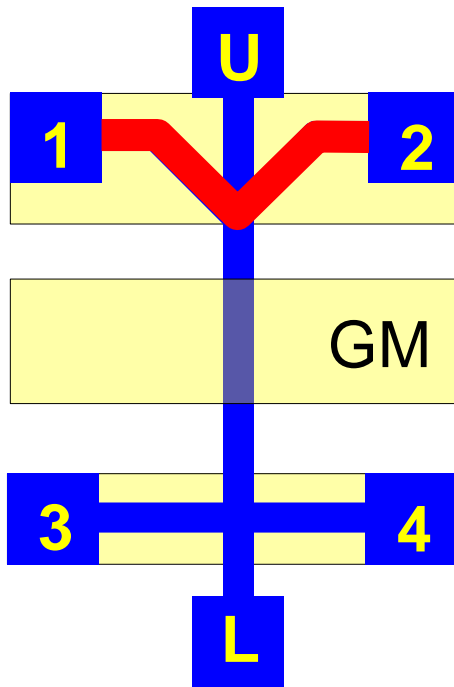
J. F. von Pock *et al.*, J. Appl. Phys. **121**, 014304 (2017)

# 6. Quantendrähte

## 6.5 Ballistischer Transport heißer Elektronen

Ballistische Gleichrichtung: Si/SiGe

Trennung von  $V_{\text{HET}}$  und  $V_{\text{ball}}$



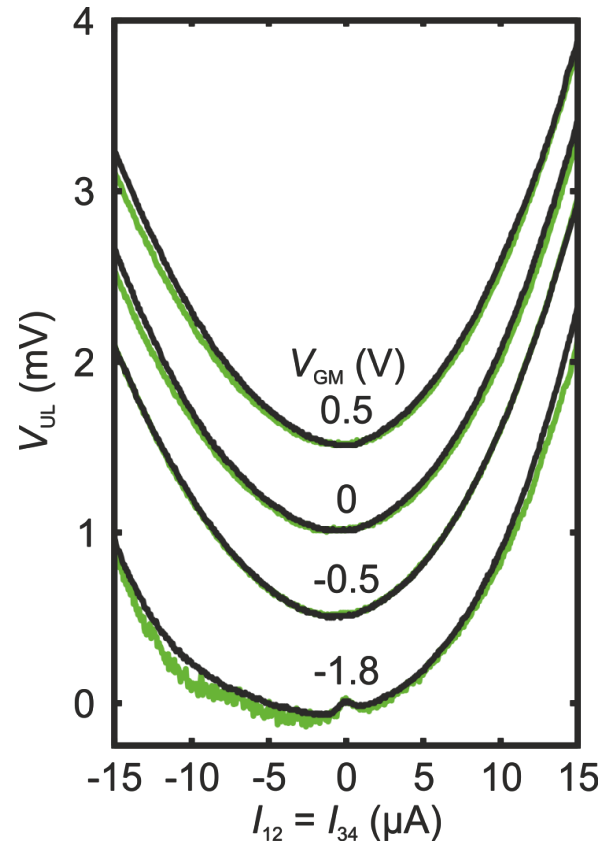
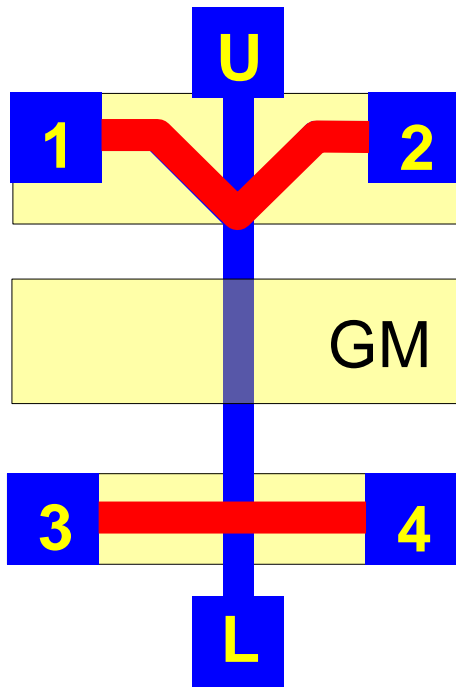
J. F. von Pock *et al.*, J. Appl. Phys. **121**, 014304 (2017)

# 6. Quantendrähte

## 6.5 Ballistischer Transport heißer Elektronen

Ballistische Gleichrichtung: Si/SiGe

Trennung von  $V_{\text{HET}}$  und  $V_{\text{ball}}$



$$V_{\text{UL}}(I_{12}) + V_{\text{UL}}(I_{34})$$

$$V_{\text{UL}}(I_{12} = I_{34})$$

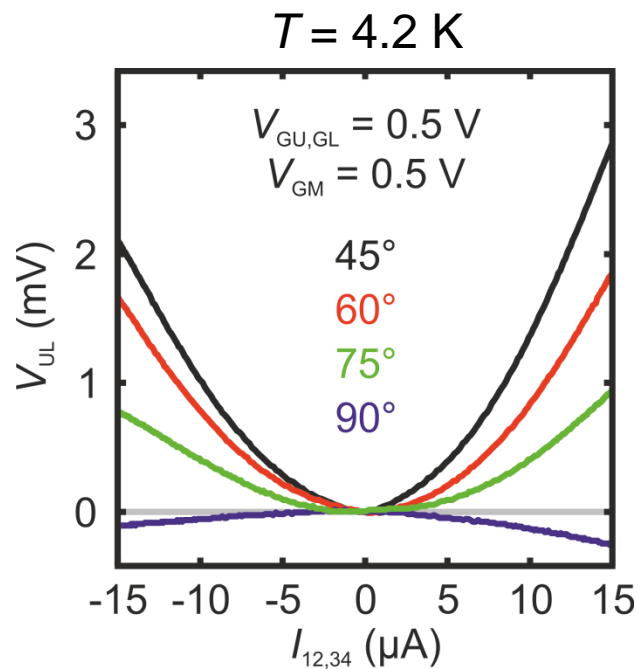
J. F. von Pock *et al.*, J. Appl. Phys. **121**, 014304 (2017)

# 6. Quantendrähte

## 6.5 Ballistischer Transport heißer Elektronen

Ballistische Gleichrichtung: Si/SiGe

Einfluss des Injektionswinkels

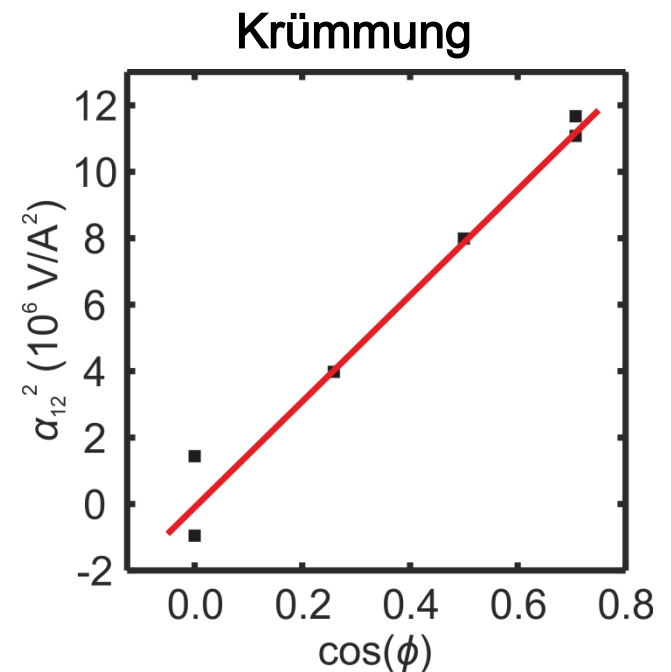


$$V_{UL} = (\alpha_{12} I_{12})^2$$

$$V_{UL} \propto t_{ball}$$

$$t_{ball} = l_{ball} \cos \phi$$

$$\alpha_{12}^2 \propto \cos \phi$$



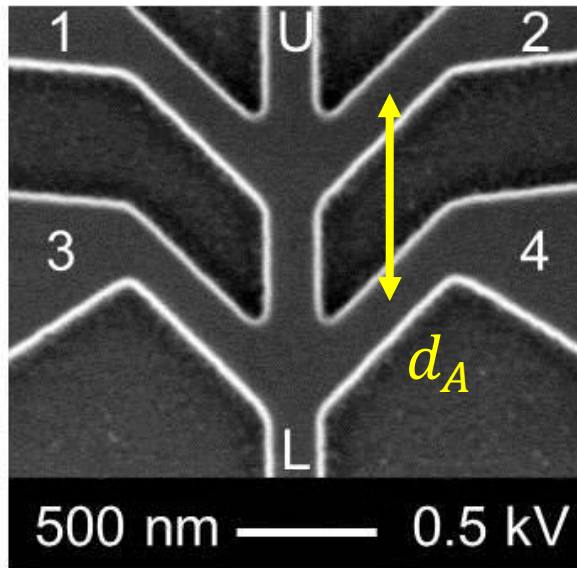
J. F. von Pock *et al.*, J. Appl. Phys. **121**, 014304 (2017)

# 6. Quantendrähte

## 6.5 Ballistischer Transport heißer Elektronen

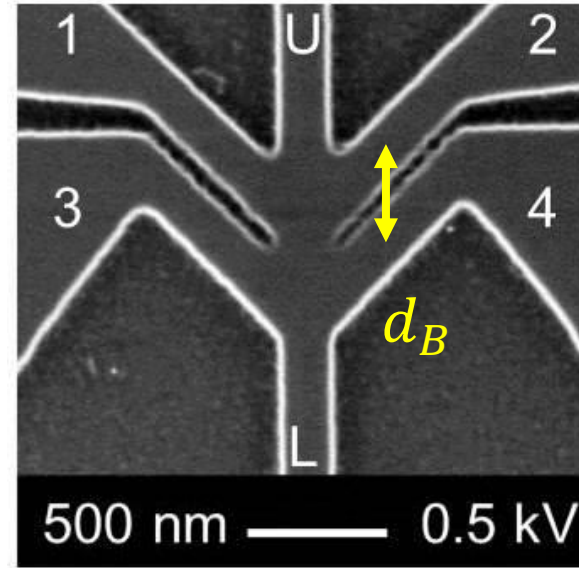
### Zweistufige ballistische Gleichrichter: Si/SiGe

$d_A \sim 740 \text{ nm}$



Probe A

$d_B \sim 340 \text{ nm}$



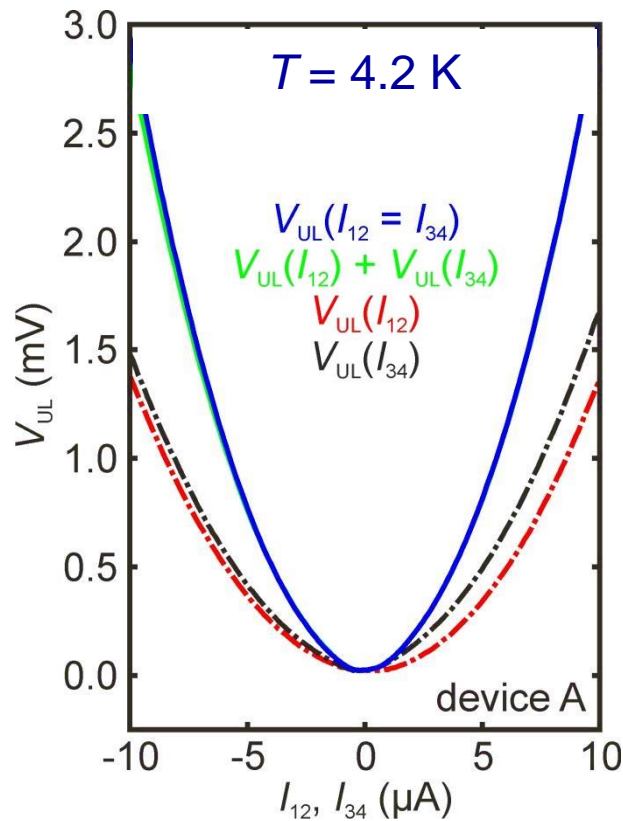
Probe B

J. F. von Pock, U. Wieser, U. Kunze, Phys. Rev. Appl. 7, 044023 (2017)

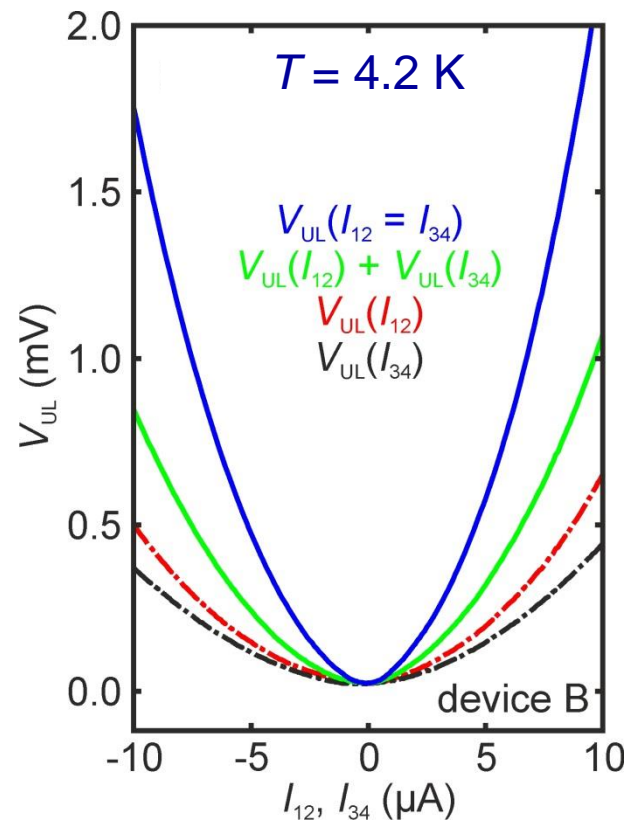
# 6. Quantendrähte

## 6.5 Ballistischer Transport heißer Elektronen

### Zweistufige ballistische Gleichrichter: Si/SiGe Signaladdition



Probe A (740 nm)



Probe B (340 nm)

J. F. von Pock, U. Wieser, U. Kunze, Phys. Rev. Appl. 7, 044023 (2017)

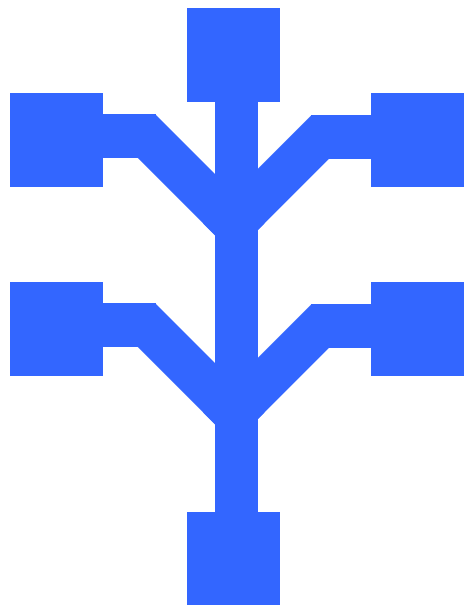
# 6. Quantendrähte

## 6.5 Ballistischer Transport heißer Elektronen

### Zweistufige ballistische Gleichrichter: Si/SiGe Signaladdition

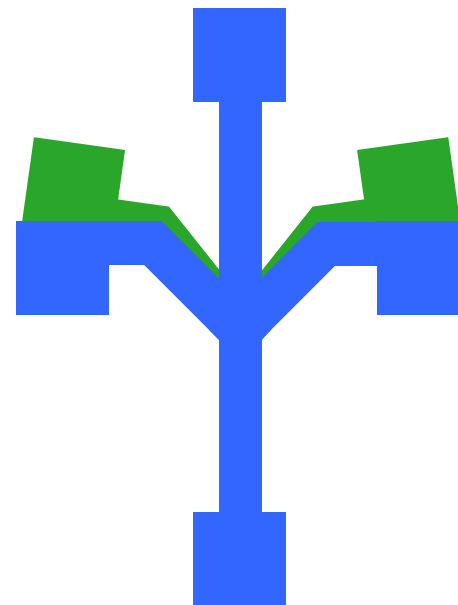
$$V_{UL} = \alpha_{12}^2 I_{12}^2 + \alpha_{34}^2 I_{34}^2$$

(Spannungsaddition)



$$V_{UL} = (\alpha_{12}^2 I_{12}^2 + \alpha_{34}^2 I_{34}^2) + \underbrace{2\alpha_{12}\alpha_{34}I_{12}I_{34}}_{\text{Überschuss}}$$

(Stromaddition)



J. F. von Pock, U. Wieser, U. Kunze, Phys. Rev. Appl. 7, 044023 (2017)

# 6. Quantendrähte

## 6.5 Ballistischer Transport heißer Elektronen

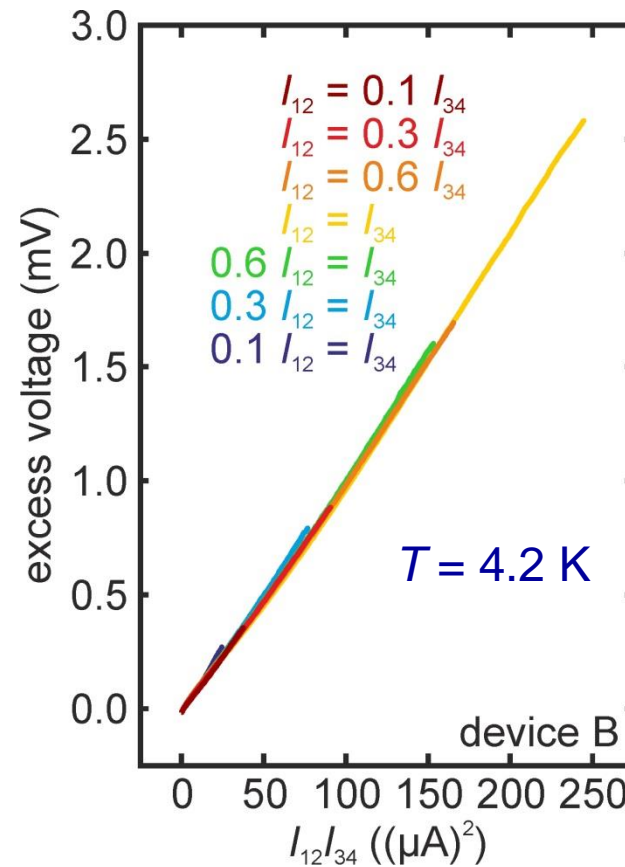
Zweistufige ballistische Gleichrichter: Si/SiGe Signaladdition: Überschuss =  $f(I_{12}I_{34})$

$$V_{UL} = \alpha_{12}^2 I_{12}^2 + \alpha_{34}^2 I_{34}^2 + V_{UL}^{exc}$$

$$V_{UL}^{exc} = 2\alpha_{12}\alpha_{34}I_{12}I_{34}$$

↑  
Produkt der Ströme

Probe B (340 nm)



J. F. von Pock, U. Wieser, U. Kunze, Phys. Rev. Appl. 7, 044023 (2017)



# 6. Quantendrähte

## 6.5 Ballistischer Transport heißer Elektronen

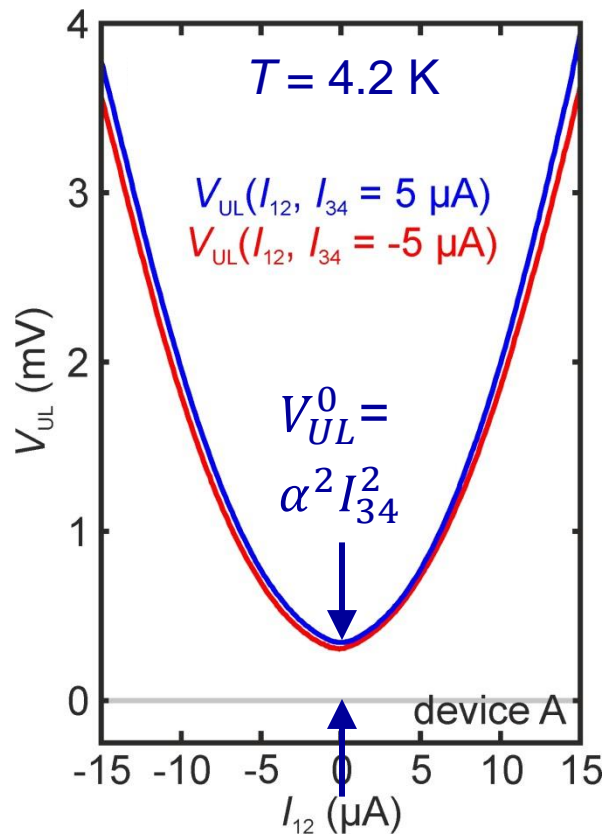
### Zweistufige ballistische Gleichrichter: Si/SiGe

Device A  
(740 nm)

$$V_{UL} = \alpha^2 (I_{12}^2 + I_{34}^2)$$

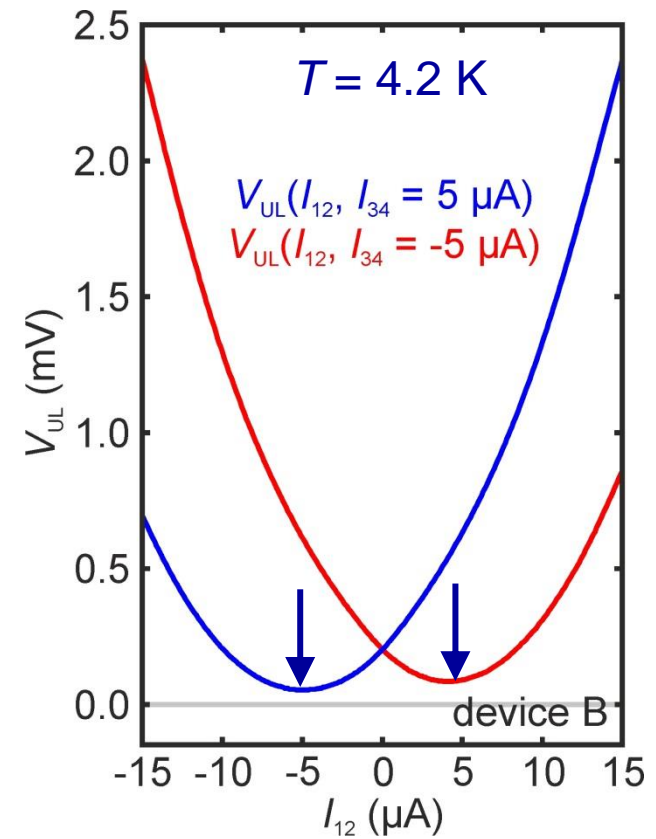
Device B  
(340 nm)

$$V_{UL} = \alpha^2 (I_{12} + I_{34})^2$$



$$V_{UL} = V_{UL}^0 + \alpha^2 I_{12}^2$$

Signaladdition:  $I_{34} = \pm 5 \mu\text{A}$



$$I_{12} + I_{34} = 0$$

J. F. von Pock, U. Wieser, U. Kunze, Phys. Rev. Appl. 7, 044023 (2017)

# 6. Quantendrähte

## 6.5 Ballistischer Transport heißer Elektronen

### Zweistufige ballistische Gleichrichter: Si/SiGe

Signaladdition:  $I_{12} = -I_{34}$

Device A

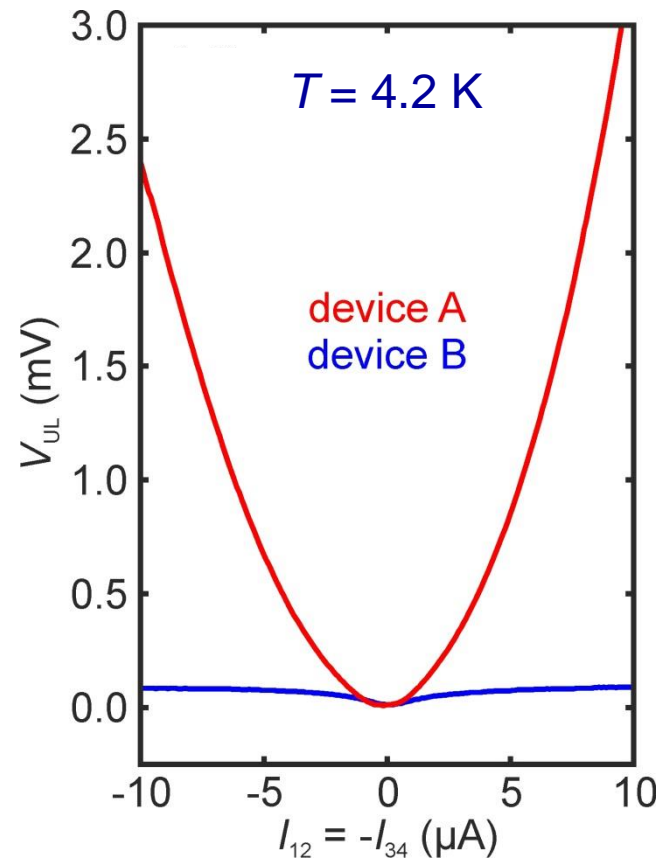
$$V_{UL} = \alpha^2 (I_{12}^2 + I_{34}^2) \sim 2\alpha^2 I_{12}^2$$

(Spannungsaddition)

Device B

$$V_{UL} = \alpha^2 (I_{12} + I_{34})^2 \sim 0$$

(Stromkompensation)



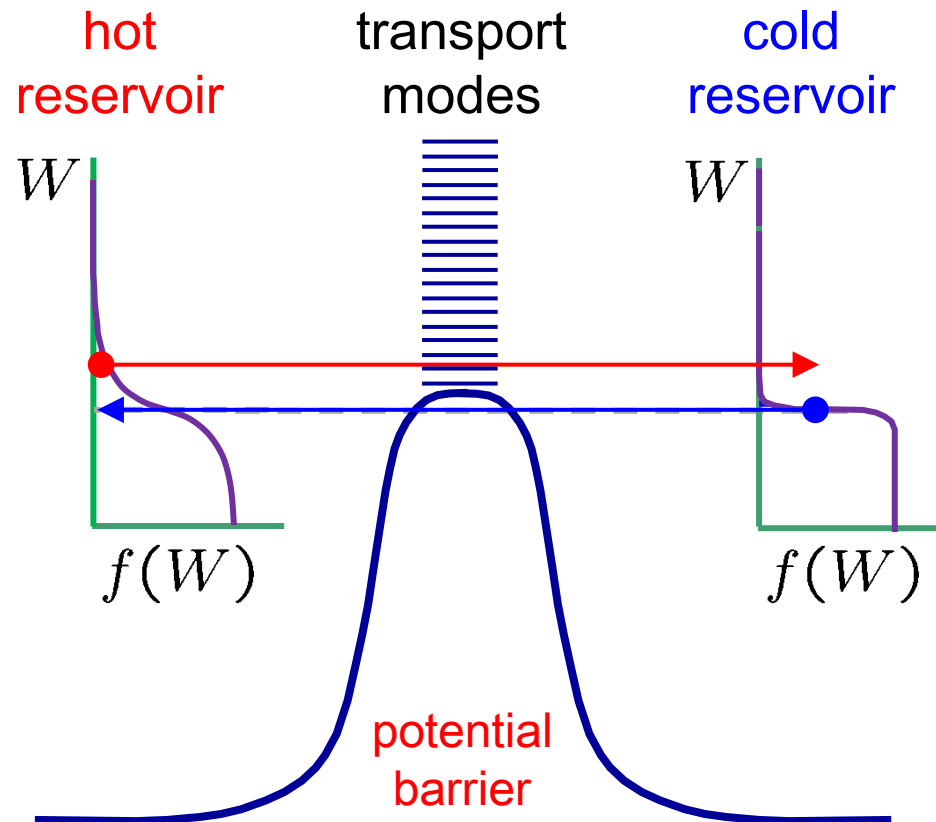
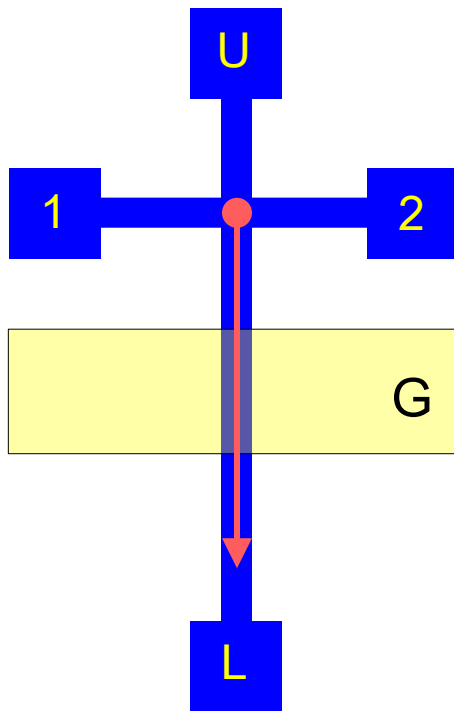
J. F. von Pock, U. Wieser, U. Kunze, Phys. Rev. Appl. 7, 044023 (2017)

# 6. Quantendrähte

## 6.6 Thermospannung heißer Elektronen

Erzeugung über lokale Barriere

Transport durch Diffusion

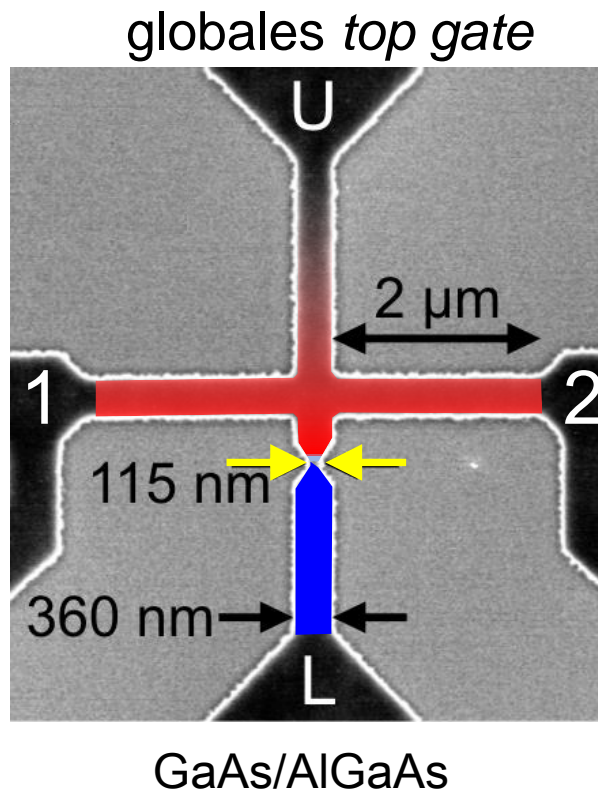


L. W. Molenkamp *et al.*, Phys. Rev. Lett. **65**, 1052 (1990)

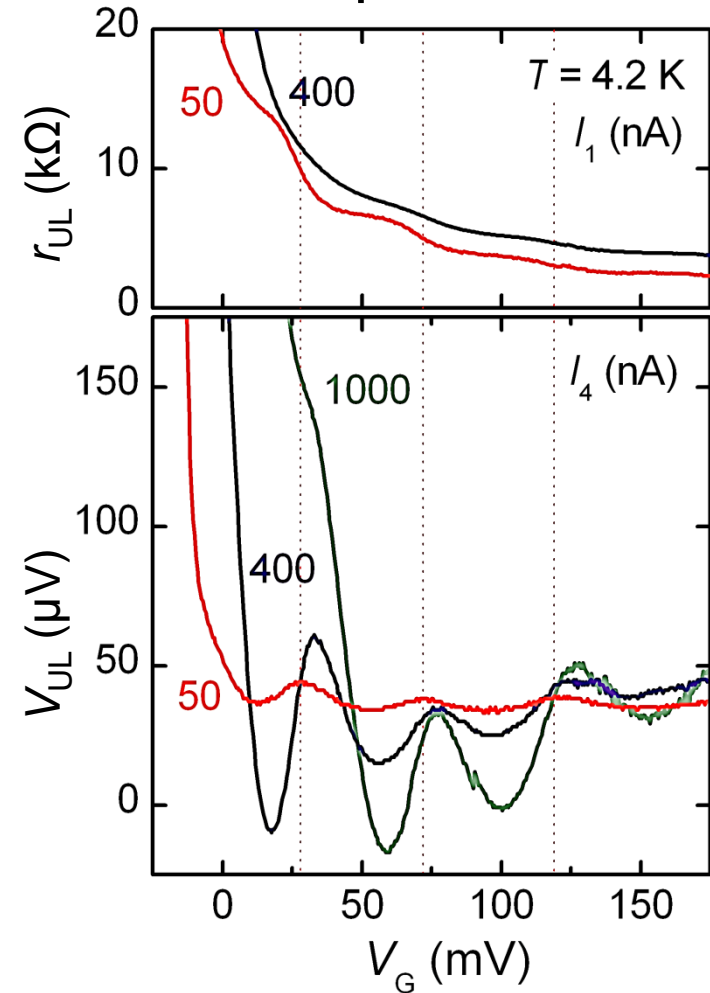
# 6. Quantendrähte

## 6.6 Thermospannung heißer Elektronen

### Erzeugung über lokale Barriere



Barriere durch  
Quantenpunktkontakt

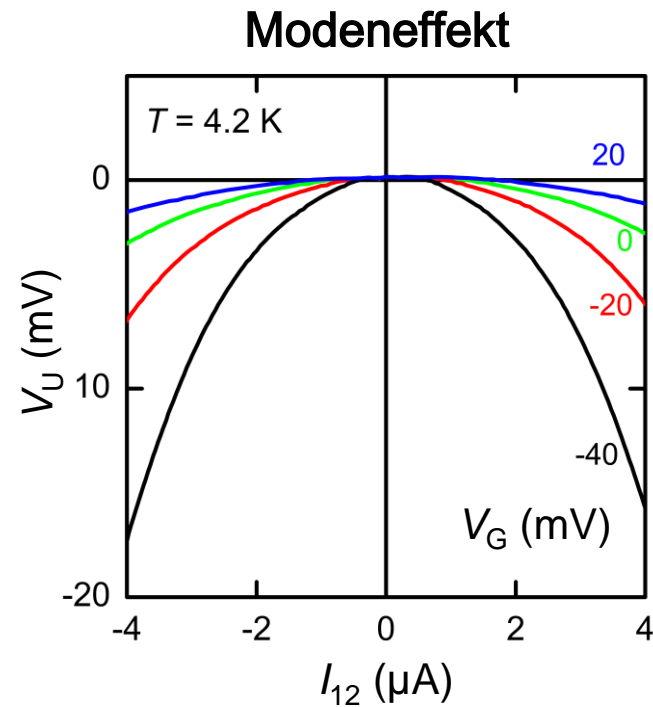
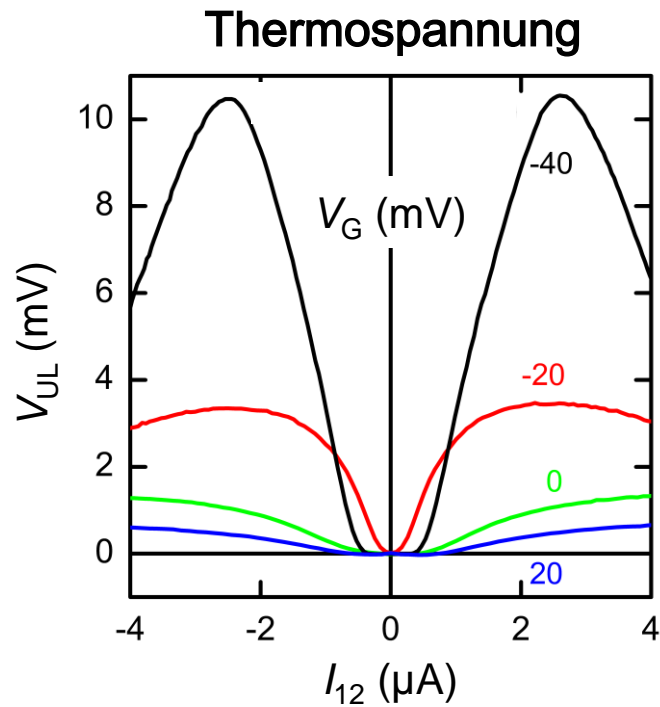


M. Wiemann *et al.*, Appl. Phys. Lett. **97**, 062112 (2010)

# 6. Quantendrähte

## 6.6 Thermospannung heißer Elektronen

### Erzeugung über lokale Barriere



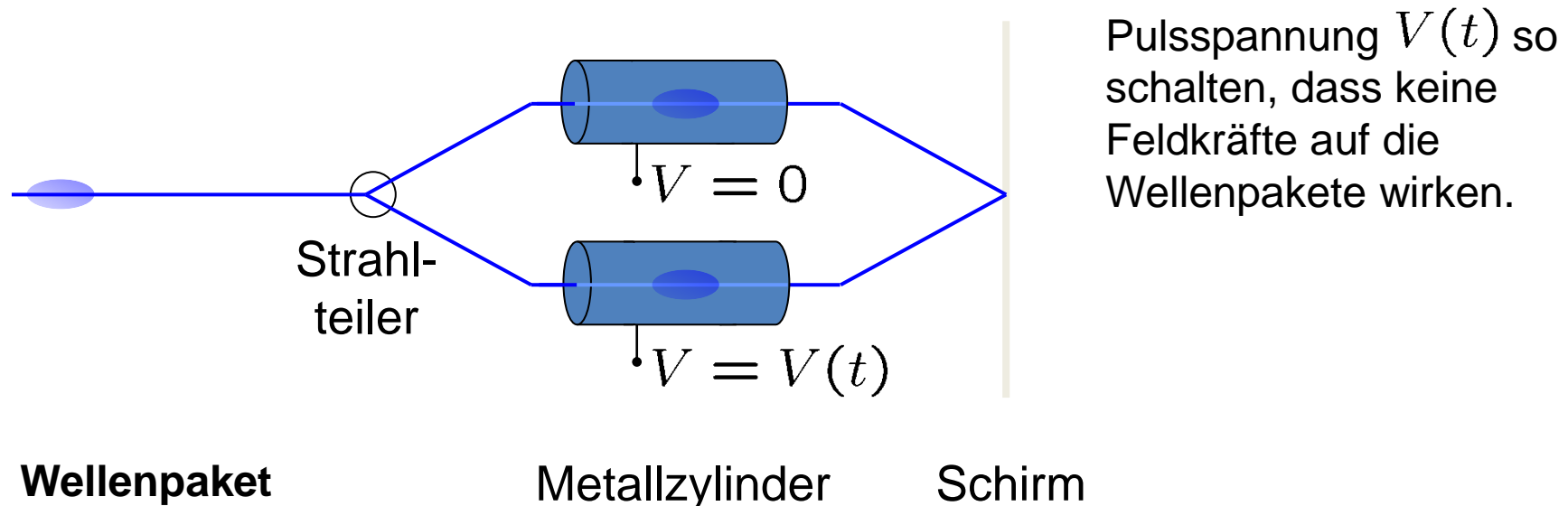
M. Wiemann *et al.*, Appl. Phys. Lett. **97**, 062112 (2010)

# 6. Quantendrähte

## 6.7 Quanteninterferenz

### Aharonov-Bohm-Effekt

Kohärente Elektronenwellen können bei Überlagerung interferieren. Eine Steuerung der Teilphasen erfolgt im **elektrischen Aharonov-Bohm-Effekt** durch elektrische Potentiale. Betrachte Elektronenstrahlen im freien Raum:



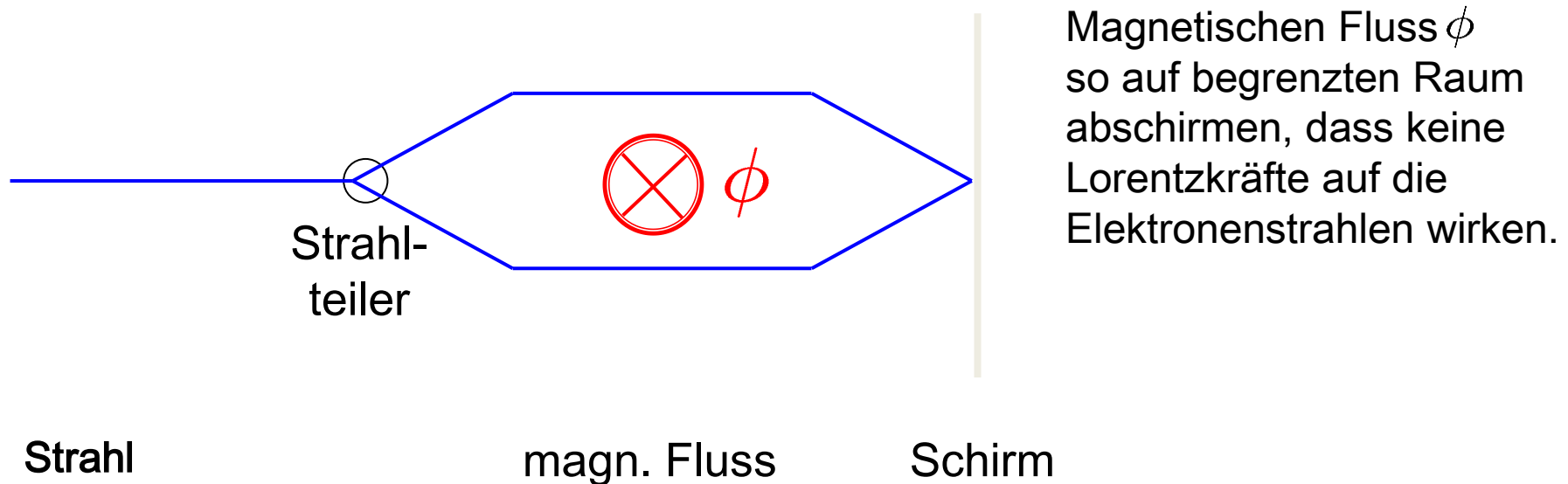
Y. Aharonov, D. Bohm Phys. Rev. **115**, 485-491 (1959)

# 6. Quantendrähte

## 6.7 Quanteninterferenz

### Aharonov-Bohm-Effekt

Im **magnetischen Aharonov-Bohm-Effekt** erfolgt die Steuerung der Interferenz durch das magnetische Vektorpotential. Betrachtung von Elektronenstrahlen im freien Raum:



Y. Aharonov, D. Bohm Phys. Rev. **115**, 485-491 (1959)

# 6. Quantendrähte

## 6.7 Quanteninterferenz

### Aharonov-Bohm-Effekt

Elektrischer und magnetischer **Aharonov-Bohm-Effekt** sind äquivalent:

$$\text{Allgemeines Feld: } \mathbf{F} + \dot{\mathbf{A}} = -\text{grad } V, \quad \text{feldfrei: } \mathbf{F} = 0 \quad (1)$$

$$\text{Phase: } \phi = \frac{E(t)}{\hbar}t - \mathbf{k}\mathbf{r} \quad \dot{\phi} = \frac{E(t)}{\hbar} = \frac{eV(t)}{\hbar} \quad (2)$$

$$\text{Phasendifferenz im Ruhssystem: } \Delta\phi = \frac{e}{\hbar} \left\{ \int_{-\infty}^{\infty} V(\mathbf{r}_l, t) dt - \int_{-\infty}^{\infty} V(\mathbf{r}_r, t) dt \right\} \quad (3)$$

$$\text{nach (1) gilt: } \mathbf{A}ds = -V dt$$

$$\text{damit folgt aus (3): } \Delta\phi = \frac{e}{\hbar} \oint \mathbf{A}ds = 2\pi \frac{\phi}{\phi_0}$$

Y. Aharonov, D. Bohm Phys. Rev. **115**, 485-491 (1959)

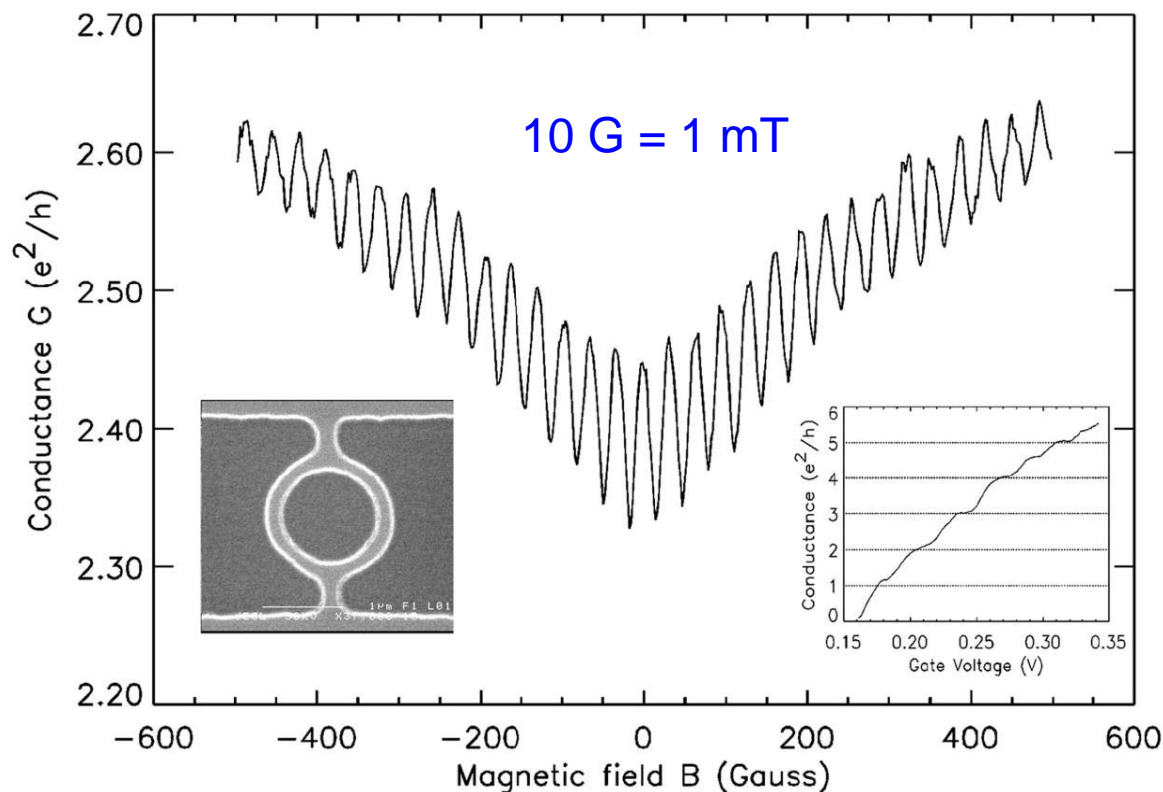


# 6. Quantendrähte

## 6.7 Quanteninterferenz

### Aharonov-Bohm-Effekt

Der magnetische **Aharonov-Bohm-Effekt** ist im Festkörper gut anzunähern:



Ringdurchmesser:  $1.3 \mu\text{m}$

Periode experimentell:

$$\Delta B = 3.2 \text{ mT}$$

Periode theoretisch:

$$\Delta B = \Phi_0 / A$$

$$\Phi_0 = 4.1 \cdot 10^{-15} \text{ Vs}$$

$$A = 1.3 \cdot 10^{-12} \text{ m}^2$$

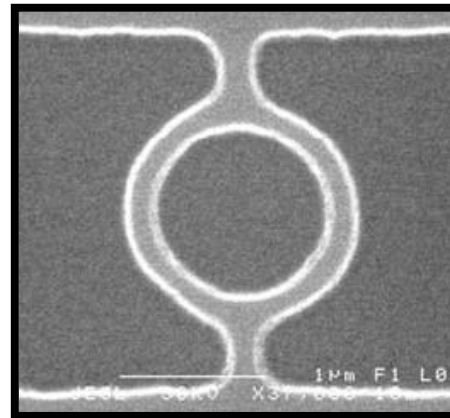
$$\Delta B = 3.2 \text{ mT}$$

S. Pedersen *et al.*, Phys. Rev. B **61**, 5457-5460 (2000)

# 6. Quantendrähte

## 6.7 Quanteninterferenz

### Aharonov-Bohm-Effekt

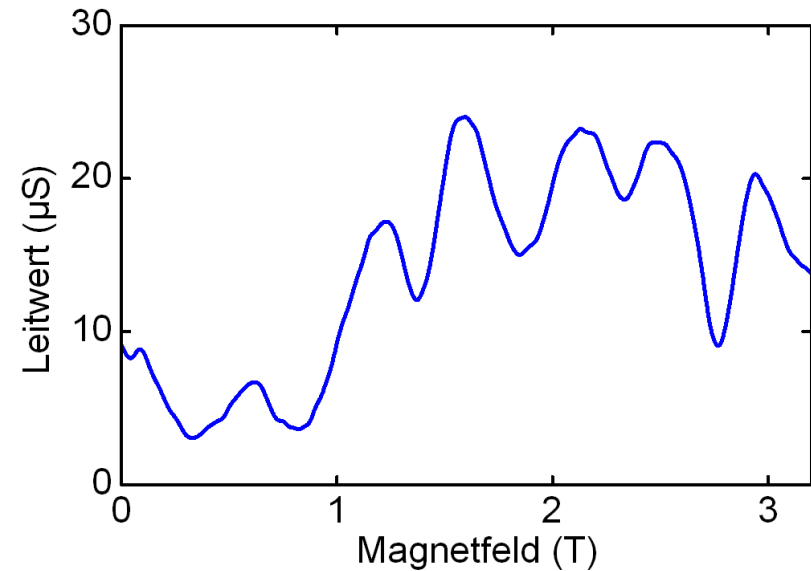
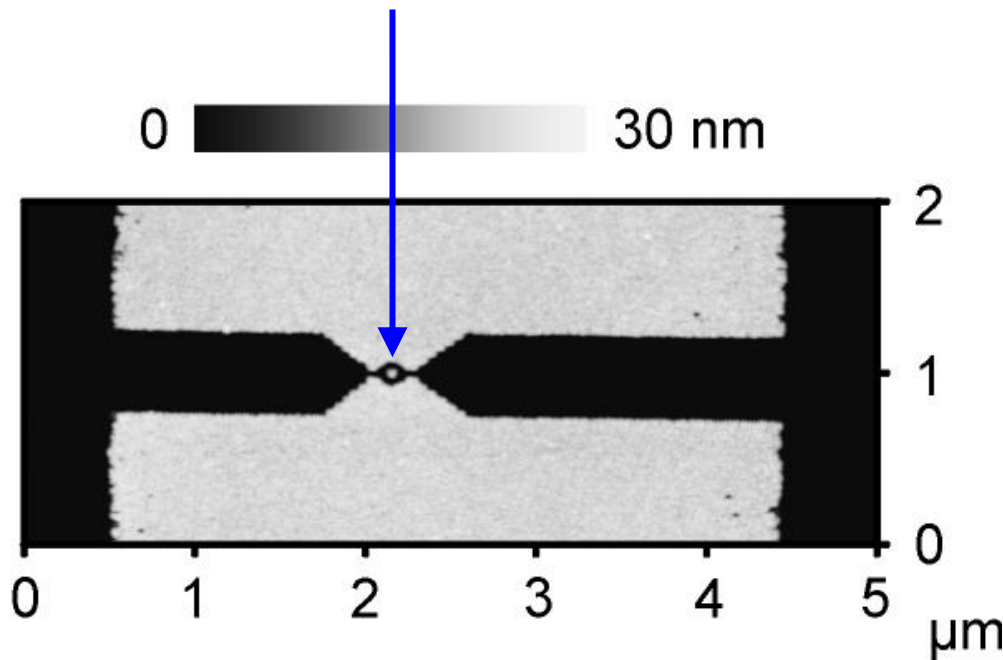


gleicher Maßstab  
des 1.3- $\mu\text{m}$ -Rings

Die Aharonov-Bohm-Periode ist umgekehrt proportional zur Fläche:

Ringdurchmesser:  $\approx 110 \text{ nm}$   $\longrightarrow$  Periode th.:  $\Delta B = 0.44 \text{ T}$

Periode exp.:  $\Delta B = 0.48 \text{ T}$



D. Kähler *et al.*; Physica E **17**, 284 (2003)  
D. Kähler, Dissertation, Ruhr-Universität Bochum 2003

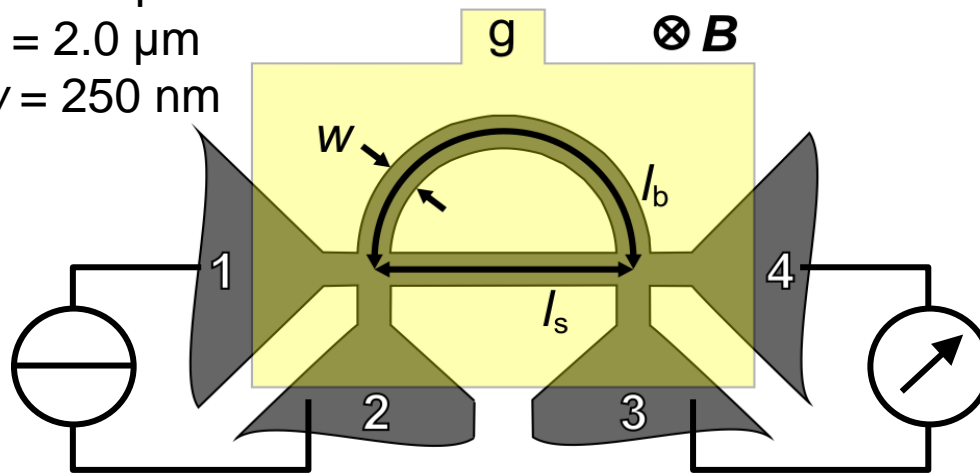
# 6. Quantendrähte

## 6.7 Quanteninterferenz

### Aharonov-Bohm-Effekt

Der **elektrostatische Aharonov-Bohm-Effekt** wurde mit einem Ring angenähert, der unterschiedlich lange Pfade enthält.

$l_b = 3.3 \mu\text{m}$   
 $l_s = 2.0 \mu\text{m}$   
 $w = 250 \text{ nm}$



$$R_{AB}(V_{TG}) \propto \cos[k_F(V_{TG}) \cdot \Delta s]$$

S. Buchholz *et al.*, Phys. Rev. B **82**, 045432 (2010)

